

## Poglavlje 3

# Petrijeve mreže

Temelje *Petrijevih mrež*<sup>1</sup> je postavil Carl Adam Petri leta 1962, njihove osnove pa so opisane v viru [10]. Petrijeve mreže predstavljajo univerzalno matematično orodje za modeliranje in simulacijo dinamičnih in distribuiranih sistemov. Na osnovi postavljenega modela in izvedene simulacije lahko pridemo do *analize dinamike modela sistema*, ki nam pove, ali je slednja ustrezena ali ne. Dinamičen sistem skozi čas spreminja svoja stanja in tako pod pojmom dinamike v sistemu smatramo *časovno zaporedje stanj sistema*. Analiza dinamike modela nam pomaga pri odločitvah ali je dinamičem sistem potrebno popraviti, dopolniti ali preoblikovati, s čimer dosežemo pravilno delovanje sistema.

V računalništvu se Petrijeve mreže uporabljajo za modeliranje na področjih analize pravilnosti delovanja komunikacijskih protokolov, analize zmogljivosti in zanesljivosti računalniških sistemov, analize pravilnosti delovanja algoritmov, analize sinhronizacije procesov itd., za modeliranje pa se uporabljajo tudi izven polja računalništva. Tako se Petrijeve mreže uporabljajo tudi za modeliranje bioloških omrežij [11], modeliranje prometnih omrežij, modeliranje interoperabilnih<sup>2</sup> sistemov itd.

### 3.1 Gradniki Petrijevih mrež

Struktura<sup>3</sup> Petrijeve mreže je sestavljena iz sledečih petih osnovnih tipov građnikov:

- *akcij* (angl. *transitions*);
- *pogojev* (angl. *places*);
- *usmerjenih povezav* med akcijami in pogoji;

<sup>1</sup>Iskalnik Google nam na ključno besedo *Petri nets* oktobra 2019 vrne 31.000.000 zadetkov.

<sup>2</sup>Interoperabilnost - sposobnost opazovanega sistema, da sodeluje z okoljem in drugimi sistemmi brez uporabnikovega poseganja (Vir: <http://www.termania.net/>).

<sup>3</sup>Struktura - kar je določeno z razporeditvijo elementov in razmerji med elementi, ki sestavljajo kako snov, predmet ali objekt (Vir: SSKJ).

- usmerjenih povezav med pogoji in akcijami;
- žetonov, s katerimi so definirane številčne kratnosti izpolnjenosti posameznih pogojev;

Dinamiko v kakršnemkoli dinamičnemu sistemu si lahko na abstraktnem nivoju interpretiramo kot zaporedje izvedenih *akcij*. Za izvedbo posamezne akcije morajo biti izpolnjeni neki zanjo specifični, vnaprej podani *pogoji*. Proženje (začetek izvajanja) posamezne akcije je tako pogojeno z vnaprej podano množico izpolnjenih pogojev. Uspešna izvedba akcije lahko povzroči neveljavnost izpolnjenosti pogojev potrebnih za njeno proženje, istočasno pa lahko izvedba akcije povzroči izpolnjenost nekih novih pogojev, ki ne sodijo v množico pogojev potrebnih za njeno proženje. Relacije med akcijami in pogoji v Petrijevih mrežah ponazorimo z *usmerjenimi povezavami*. Prva skupina usmerjenih povezav vodi od pogojev v akcije in definira potrebne izpolnjene pogoje za proženje akcij, druga skupina usmerjenih povezav pa vodi od akcij do pogojev in definira posledice, ki jih izvedbe akcij povzročijo v obliki novih izpolnjenosti izbranih pogojev.

Posamezen pogoj v Petrijevi mreži je lahko izpolnjen ali pa neizpolnjen. V primeru izpolnjenosti pogoja nas običajno zanima tudi *kratnost njegove izpolnjenosti*, ki nam poda odgovor na vprašanje, „kolikokrat je pogoj izpolnjen“. Za označevanje kratnosti pogojev v Petrijevih mrežah uporabljam *žetone*. Glede na povedano je tako nek opazovani pogoj lahko neizpolnjen (število žetonov v njem je 0), izpolnjen enkrat (število žetonov v njem je 1), ..., izpolnjen  $n$ -krat (število žetonov v njem je  $n$ ) itd.

## 3.2 Definicije Petrijevih mrež

V pričujočem razdelku si bomo ogledali definiciji Petrijeve mreže in grafa Petrijeve mreže, v nadaljevanju pa osnovne koncepte formalizacije zapisovanja Petrijevih mrež ter pravila za proženje akcij in formacijo novega stanja prostora izolnjenosti pogojev.

### 3.2.1 Formalna definicija Petrijeve mreže

Na začetku zapišimo formalno definicijo Petrijeve mreže (angl. *Petri net, place - transition net*) povzeto po viru [10].

**Definicija 6** Petrijeva mreža je definirana kot četvorček  $C = (P, T, I, O)$ , pri čemer  $P$  predstavlja končno množico pogojev,  $T$  končno množico akcij,  $I$  vhodno in  $O$  izhodno funkcijo. Množici  $P$  in  $T$  sta si tuji ( $P \cap T = \emptyset$ ).

Vhodna funkcija  $I$  in izhodna funkcija  $O$  definirata relacije med akcijami in pogoji ali izvore in ponore usmerjenih povezav med njimi. Vhodna funkcija

$I$  za opazovano akcijo  $t_j$  tako določa množico pogojev  $I(t_j)$ , iz katerih vodijo usmerjene povezave proti akciji  $t_j$ . Izhodna funkcija  $O$  za opazovano akcijo  $t_j$  določa množico pogojev  $O(t_j)$ , v katere vodijo usmerjene povezave iz akcije  $t_j$ . Tako usmerjene povezave vodijo le iz akcij v pogoje in obratno, niso pa dovoljene usmerjene povezave iz pogoja v pogoj ali iz akcije v akcijo.

Običajno funkciji  $I$  in  $O$  zapišemo v obliki *prehajalnih matrik* reda  $m \times n$ , pri čemer  $m$  predstavlja število akcij ( $m = |T|$ ) in  $n$  število pogojev ( $n = |P|$ ), ali v obliki *posplošenih množic*. Matrični zapis funkcij  $I$  in  $O$  lahko ponazorimo z izrazom

$$I = [i_{jk}], O = [o_{jk}], j = 1, \dots, m, k = 1, \dots, n, i_{jk}, o_{jk} \in \mathbb{N} \cup \{0\}. \quad (3.1)$$

Pri tem posamezni element  $i_{jk}$  matrike  $I$  ponazarja število usmerjenih povezav iz pogoja  $k$  v akcijo  $j$ , posamezni element  $o_{jk}$  matrike  $O$  pa število usmerjenih povezav iz akcije  $j$  v pogoj  $k$ .

V izrazih od (3.2) do (3.5) je predstavljen primer formalnega zapisa Petrijeve mreže s tremi akcijami, štirimi pogoji in desetimi usmerjenimi povezavami najprej v matrični notaciji, nato pa še v notaciji na osnovi posplošenih množic. Pri tem izraza (3.2) in (3.3) predstavljata matrični način zapisa, izrazi (3.2), (3.4) in (3.5) pa zapis na osnovi posplošenih množic.

$$C = (P, T, I, O), P = \{p_1, p_2, p_3, p_4\}, T = \{t_1, t_2, t_3\}, \quad (3.2)$$

$$I = \begin{bmatrix} 1 & 1 & 1 & 0 \\ 0 & 0 & 0 & 1 \\ 0 & 0 & 1 & 0 \end{bmatrix}, O = \begin{bmatrix} 1 & 0 & 0 & 0 \\ 0 & 2 & 1 & 0 \\ 0 & 0 & 0 & 1 \end{bmatrix}. \quad (3.3)$$

$$I(t_1) = \{p_1, p_2, p_3\}, I(t_2) = \{p_4\}, I(t_3) = \{p_3\}, \quad (3.4)$$

$$O(t_1) = \{p_1\}, O(t_2) = \{p_2, p_2, p_3\}, O(t_3) = \{p_4\}. \quad (3.5)$$

V nadaljevanju pričajočega dela bomo uporabljali oba načina zapisa.

### 3.2.2 Definicija grafa Petrijeve mreže

Pri praktičnem delu poleg formalnega matematičnega zapisa zaradi preglednosti za ponazarjanje Petrijevih mrež uporabljamо tudi njihovo grafično predstavitev. Slednjo imenujemo za *graf Petrijeve mreže*. Njegova definicija, povzeta po viru [10], je navedena v nadaljevanju.

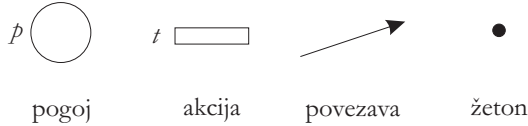
**Definicija 7** *Graf Petrijeve mreže je bipartitni usmerjeni graf  $G=(V,A)$ , kjer  $V$  ( $V = P \cup T$ ) predstavlja množico vozlišč in  $A$  množico povezav med njimi ( $a_i = (v_j, v_k)$ ). Velja naslednja relacija:*

$$\forall i : a_i = (v_j, v_k), (v_j \in T) \& (v_k \in P) \vee (v_j \in P) \& (v_k \in T). \quad (3.6)$$

Vozlišča bipartitetnega grafa<sup>4</sup> nam predstavljajo vsi pogoji iz množice  $P$  in vse akcije iz množice  $T$ . Tako imamo v grafu opravka z  $n+m$  vozlišči ( $m = |T|$ ,  $n = |P|$ ,  $|V| = n + m$ ). Množica  $A$  je sestavljena iz usmerjenih povezav, ki smo jih v matričnem zapisu zapisali v matriki  $I$  in  $O$ . Moč množice usmerjenih povezav  $|A|$  je izražena z vsoto vseh usmerjenih povezav upoštevajoč obe matriki funkcij po izrazu

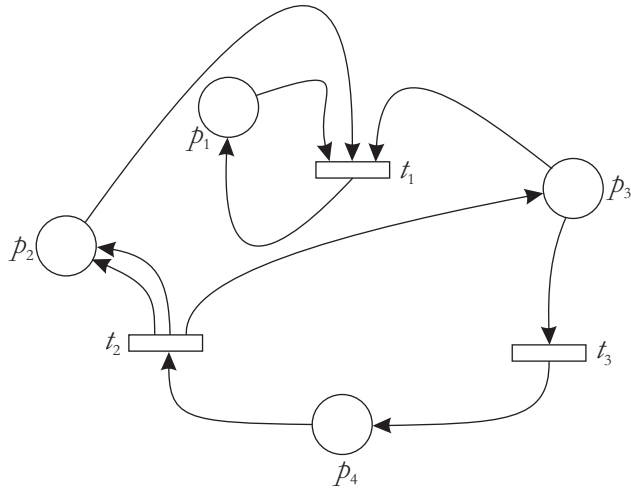
$$|A| = \sum_{j=1}^m \left( \sum_{k=1}^n i_{jk} \right) + \sum_{j=1}^m \left( \sum_{k=1}^n o_{jk} \right). \quad (3.7)$$

Za tvorbo grafov Petrijevih mrež uporabljamo grafične primitive, ki so prikazani na sliki 3.1.



Slika 3.1: Grafični primitivi za tvorbo grafa Petrijeve mreže.

Predhodno smo v izrazih (3.2), (3.3) na osnovi matričnega zapisa formalno zapisali primer Petrijeve mreže. Njen graf je prikazan na sliki 3.2.



Slika 3.2: Primer grafa Petrijeve mreže podane z izrazoma (3.2) in (3.3).

<sup>4</sup>Bipartitni ali dvodelni graf je v teoriji grafov graf, ki se mu lahko vozlišča razdeli na dve med seboj tuji si množici, pri čemer ima vsaka povezava izvor v vozlišču iz ene od obuh množic, ponor pa v vozlišču iz preostale od obuh množic. Tako bipartitni graf vsebuje samo povezave, ki povezujejo vozlišča iz obuh med seboj tuji si množic, ne vsebuje pa nobene povezave, ki bi povezovala dve vozlišči iz iste množice [7].

Pomemben detajl, prikazan na sliki 3.2, je označevanje akcij in pogojev z indeksi, ki nam omogoča povezovanje vozlišč po smiselnem redu, ki izhaja iz indeksiranih elementov množic  $P$  in  $T$  in matrik  $I$  in  $O$ .

### 3.2.3 Označitve pogojev v Petrijevih mrežah

Kot smo povedali že v uvodu, z *označitvami pogojev* z žetoni v Petrijevih mrežah določamo ali odčitavamo kratnost izpolnjenosti pogojev. Formalno *označitev Petrijeve mreže* zapišemo z vektorjem  $o(k)$

$$o(k) = (o_1(k), o_2(k), \dots, o_n(k)), \quad \forall i : o_i(k) \in \mathbb{N} \cup \{0\}, \quad i = 1, \dots, n, \quad (3.8)$$

pri čemer  $n$  predstavlja število pogojev ( $n = |P|$ ),  $o_i(k)$  pa število žetonov v  $i$ -tem pogoju ali kratnost izpolnjenosti  $i$ -tega pogoja na  $k$ -tem diskretnem časovnem koraku izvajanja modela Petrijeve mreže. Ob izvajanju dinamike na osnovi modela se skozi čas sprožajo različne akcije in praviloma se s tem spreminjajo tudi izpolnjenosti posameznih pogojev. Iz tega razloga je elementom vektorja  $o_i(k)$  kot tudi celotnemu vektorju označitve  $o(k)$  dodan diskretni časovni atribut  $k$ . Oglejmo si še formalno definicijo označitve podano v nadaljevanju.

**Definicija 8** Označitev Petrijeve mreže  $C=(P, T, I, O)$  je funkcija, ki množico stanj  $P$  preslikava v vektor nenegativnih celih števil po izrazu

$$o : P \rightarrow \mathbb{N} \cup \{0\}. \quad (3.9)$$

Z označitvijo vseh pogojev pridemo do *označene Petrijeve mreže*, ki jo zapišemo kot petorček  $M = (P, T, I, O, o(k))$ . Upoštevajoč izraz (3.8), ki ne omejuje števila žetonov v posameznem pogoju, za vsako Petrijevo mrežo obstaja neskončno možno označitev, če ima Petrijeva mreža vsaj en pogoj.

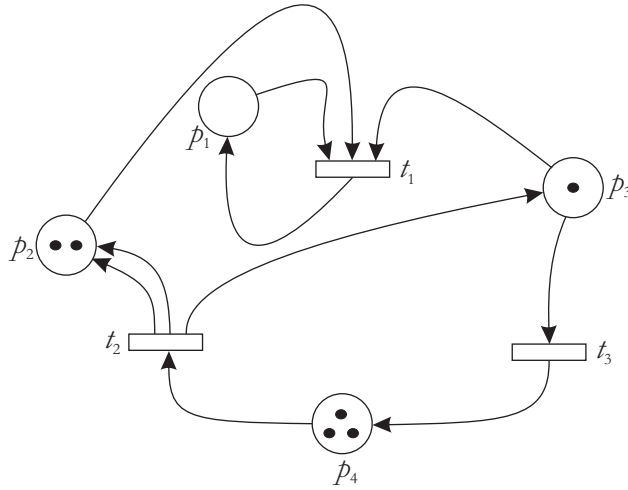
Za primer Petrijeve mreže formalno zapisane v izrazih (3.2) in (3.3) predpostavimo začetno označitev  $o(k_0) = (0, 2, 1, 3)$ . V tem primeru bi prišli do grafične ponazoritve mreže, ki jo prikazuje slika 3.3.

V primeru, da je število žetonov v posameznem pogoju izredno veliko, v takšen pogoj namesto zapisa posameznih žetonov zapišemo število, ki predstavlja kratnost izpolnjenosti pogoja. Označitev mreže  $o(k)$  pomensko enačimo s *stanjem*, v katerem se nahaja Petrijeva mreža na  $k$ -tem diskretnem časovnem koraku.

### 3.2.4 Proženje izvajanja akcij v Petrijevih mrežah

Na tem mestu zapišimo najprej nekaj predpostavk, povezanih z izvajanjem akcij in pomenom časa v Petrijevih mrežah, ki se jih bomo držali v nadaljevanju pričujočega poglavja. Le te so sledeče:

- *diskretnost časa*: simulirana dinamika opazovanega modela na osnovi Petrijeve mreže se izvaja v diskretnih časovnih korakih;



Slika 3.3: Primer označenega grafa Petrijeve mreže iz izrazov (3.2) in (3.3) ob podani označitvi  $o(k_0) = (0, 2, 1, 3)$ .

- *istočasnost izvajanja le ene akcije:* na posameznem diskretnem časovnem koraku se lahko izvede le ena akcija; paralelno izvajanje več akcij hkrati tako ni možno;
- *hipnost izvedbe akcije:* čas trajanja izvedbe posamezne akcije je hipen ali infinitezimalen;

Upoštevajoč navedene predpostavke je dinamika v Petrijevi mreži enolično dočlena s *časovnim zaporedjem izvedenih akcij*, slednje pa lahko zapišemo tudi s *časovnim zaporedjem stanj* ali *časovnim zaporedjem označitev*.

Proženje izvajanja posamezne akcije na  $k$ -tem diskretnem koraku je pogojeno z označitvijo Petrijeve mreže  $o(k)$ . Posamezna akcija se lahko sproži, če je na  $k$ -tem diskretnem koraku *omogočena*. Akcija  $t_i$  je omogočena, če se po vsaki usmerjeni povezavi, ki vstopa v to akcijo, lahko prenese žeton iz pogoja, ki predstavlja izvor usmerjene povezave. Način preverjanja omogočnosti akcije  $t_i$  za izvajanje formalno zapišemo z izrazom

$$o(k) \geq e(t_i) * I, \quad i = 1, \dots, m, \quad (3.10)$$

pri čemer je  $e(t_i)$  enotski vektor dolžine  $m$  ( $m = |T|$ ), enica v njem pa se nahaja na  $i$ -ti poziciji, ki jo definira indeks  $i$  opazovane akcije  $t_i$ .  $I$  predstavlja vhodno funkcijo podano z matriko reda  $m * n$ . V primeru, da velja relacija iz izraza (3.10) za vse istoležne pare levega in desnega vektorja (oba vektorja sta dimenzije  $1 * n$ ), je opazovana akcija  $t_j$  omogočena za proženje. Če je na  $k$ -tem diskretnem časovnem koraku ta akcija edina omogočena, se njeno izvajanje sproži, v primeru, pa da je v Petrijevi mreži na  $k$ -tem diskretnem koraku več omogočenih akcij, se izmed njih *nedeterministično* izbere za proženje le ena.

**Zgled 13** Za označeno Petrijevo mrežo s slike 3.3 določi akcije, ki so ob podani označitvi  $(0, 2, 1, 3)$  omogočene za proženje.

**Rešitev na osnovi vizuelnega pregleda grafa Petrijeve mreže:** Iz slike je razvidno, da se preko vseh usmerjenih povezav, ki vstopajo v posamezno akcijo od pogojev (izvornih vozlišč) lahko žeton prenesejo le v akciji  $t_2$  (en žeton iz  $p_4$ ) in  $t_3$  (en žeton iz  $p_3$ ). Tako sta akciji  $t_2$  in  $t_3$  na danem diskretnem časovnem koraku omogočeni za proženje. Akcija  $t_1$  ni omogočena, saj ima kar tri vstopajoče usmerjene povezave, pri čemer se žeton vanjo lahko prenese le iz pogojev  $p_2$  in  $p_3$ , iz pogoja  $p_1$  pa ne. Ker s tem ni možno prenesti v akcijo  $t_1$  žetonov iz vseh pogojev, iz katerih vodijo usmerjene povezave v opazovano akcijo, slednja ni omogočena za proženje.

**Rešitev na osnovi uporabe formalnega izraza (3.10):** Glede na veljavnost izrazov

$$o(k) = (0, 2, 1, 3), \quad e(t_1) = (1, 0, 0), \quad e(t_2) = (0, 1, 0), \quad e(t_3) = (0, 0, 1), \quad (3.11)$$

$$I = \begin{bmatrix} 1 & 1 & 1 & 0 \\ 0 & 0 & 0 & 1 \\ 0 & 0 & 1 & 0 \end{bmatrix}, \quad (3.12)$$

lahko po vrsti zapišemo izraze za preverjanje relacije „ $\geq$ “

$$t_1 : o(0, 2, 1, 3) \geq (1, 1, 1, 0), \quad (3.13)$$

$$t_2 : o(0, 2, 1, 3) \geq (0, 0, 0, 1), \quad (3.14)$$

$$t_3 : o(0, 2, 1, 3) \geq (0, 0, 1, 0). \quad (3.15)$$

Upoštevajoč nastavljene izraze lahko ugotovimo, da je relaciji „ $\geq$ “ glede na parne primerjave istoležnih komponent zadoščeno v izrazih (3.14) in (3.15), kar pomeni, da sta akciji  $t_2$  in  $t_3$  omogočeni, izraz (3.13) pa relacije „ $\geq$ “ ne izpolnjuje, kar pomeni, da akcija  $t_1$  ni omogočena.

Sprožitev in v nadaljevanju izvedba akcije  $t_i$  torej odvzame žetone iz pogojev, iz katerih vodijo usmerjene povezave proti opazovani akciji. Po hipnem infinitesimalnem trajanju akcije  $t_i$  pride do prenosa žetonov do pogojev, do katerih vodijo usmerjene povezave iz opazovane akcije. Po vsaki usmerjeni povezavi, ki vodi od akcije  $t_i$  do nekega pogoja  $p_j$ , se tako prenese en žeton, ki se odloži v tem ponornem pogoju  $p_j$ . Prehajanje žetonov od izvedene akcije  $t_i$  proti ponornim pogojem spremeni označitev pogojev Petrijeve mreže na naslednjem diskretnem časovnem koraku  $k + 1$ , kar formalno zapišemo z izrazom

$$o(k + 1) = o(k) + e[t_i](O - I), \quad i = 1, \dots, m. \quad (3.16)$$

Pri tem  $O$  predstavlja matriko izhodne funkcije, ostale gradnike izraza (3.16) pa že poznamo. Na tem mestu poudarimo dve pomembni značilnosti prenosa žetonov preko prožene akcije  $t_j$  v ponorne pogoje. Le ti sta sledeči:

- čas prehajanja žetonov od pogojev s katerimi je pogojena omogočenost

akcije  $t_j$  do pogojev, v katere ista akcija odlaga žetone, je hipen ali infinitesimalen;

- ni nujno, da je število žetonov, ki vstopajo v proženo akcijo enako številu žetonov, ki iz njе izstopajo;

**Zgled 14** Za označeno Petrijevo mrežo predstavljenou na sliki 3.3 določi označitev na naslednjem diskretnem časovnem koraku za primer, ko sprožimo akcijo  $t_2$  (i) in za primer, ko sprožimo akcijo  $t_3$  (ii).

**Rešitev na osnovi vizuelnega pregleda grafa Petrijeve mreže:** Kot izhodišče za rešitvi nam služi trenutna označitev Petrijeve mreže, ki je podana z izrazom

$$o(k) = (0, 2, 1, 3). \quad (3.17)$$

(i) Akcija  $t_2$  na vhodnem delu odvzame en žeton iz pogoja  $p_4$ , na izhodnem delu pa odpošlje dva žetona proti pogoju  $p_2$  in en žeton proti pogoju  $p_3$ . Nova označitev bi tako bila  $o(k+1) = (0, 4, 2, 2)$ .

(ii) Akcija  $t_3$  na vhodnem delu odvzame en žeton iz pogoja  $p_3$ , na izhodnem delu pa odpošlje en žeton proti pogoju  $p_4$ . Nova označitev bi tako bila  $o(k+1) = (0, 2, 0, 4)$ .

**Rešitev na osnovi uporabe formalnega izraza (3.16):** Glede na vlagost izrazov

$$o(k) = (0, 2, 1, 3), \quad e(t_1) = (1, 0, 0), \quad e(t_2) = (0, 1, 0), \quad e(t_3) = (0, 0, 1), \quad (3.18)$$

$$O - I = \begin{bmatrix} 1 & 0 & 0 & 0 \\ 0 & 2 & 1 & 0 \\ 0 & 0 & 0 & 1 \end{bmatrix} - \begin{bmatrix} 1 & 1 & 1 & 0 \\ 0 & 0 & 0 & 1 \\ 0 & 0 & 1 & 0 \end{bmatrix} = \begin{bmatrix} 0 & -1 & -1 & 0 \\ 0 & 2 & 1 & -1 \\ 0 & 0 & -1 & 1 \end{bmatrix}, \quad (3.19)$$

izračunamo nove označitve po naslednjih izrazih:

(i) proženje akcije  $t_2$ :

$$o(k+1) = (0, 2, 1, 3) + (0, 1, 0) * \begin{bmatrix} 0 & -1 & -1 & 0 \\ 0 & 2 & 1 & -1 \\ 0 & 0 & -1 & 1 \end{bmatrix} = \quad (3.20)$$

$$= (0, 2, 1, 3) + (0, 2, 1, -1) = (0, 4, 2, 2). \quad (3.21)$$

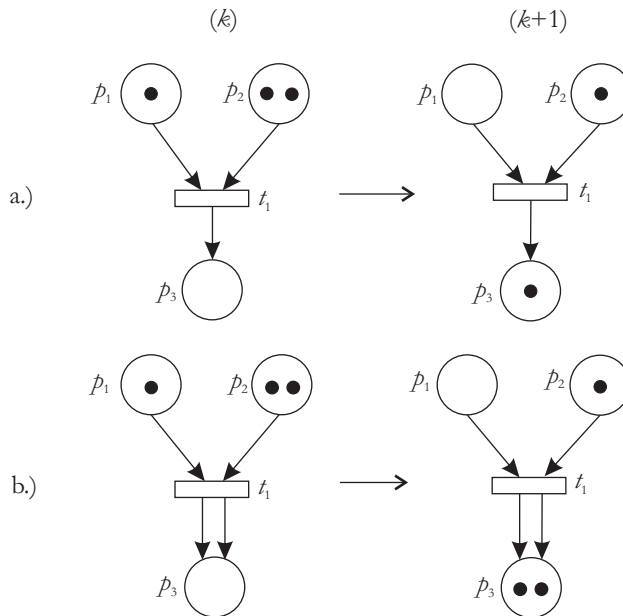
(ii) proženje akcije  $t_3$ :

$$o(k+1) = (0, 2, 1, 3) + (0, 0, 1) * \begin{bmatrix} 0 & -1 & -1 & 0 \\ 0 & 2 & 1 & -1 \\ 0 & 0 & -1 & 1 \end{bmatrix} = \quad (3.22)$$

$$= (0, 2, 1, 3) + (0, 0, -1, 1) = (0, 2, 0, 4). \quad (3.23)$$

Predhodno smo že omenili, da ni nujno, da se število vstopajočih žetonov

v opazovano proženo akcijo ujema s številom žetonov, ki v nadaljevanju opazovanu izvedeno akcijo zapustijo. Na sliki 3.4 imamo podana dva zgleda grafov Petrijevih mrež. V primeru grafa na zgornjem delu slike (a) lahko ugotovimo, da pri proženju akcije  $t_1$  v akcijo vstopata dva žetona (prvi iz pogoja  $p_1$  in drugi iz pogoja  $p_2$ ), akcija pa proti pogoju  $p_3$  odpošlje le en žeton. V primeru na spodnjem delu slike (b) je število žetonov, ki vstopajo v akcijo enako, kot je število izstopajočih žetonov. V tem primeru vstopa v akcijo  $t_1$  en žeton iz pogoja  $p_1$  in en žeton iz pogoja  $p_2$ , akcija pa proti pogoju  $p_3$  odpošlje dva žetona (po vsaki usmerjeni povezavi po en žeton).



Slika 3.4: Primera pretoka žetonov v Petrijevih mrežah. V zgornji Petrijevi mreži se celotno število žetonov v mreži ob proženju akcije  $t_1$  spremeni, v spodnji pa se število žetonov ob proženju iste akcije ohrani.

Iz podanega primera pridemo do sklepa, da je spremembra celotnega števila žetonov v Petrijevi mreži ob izvedbi posamezne akcije (spremembri stanja Petrijeve mreže) odvisna od razmerja med številom vstopajočih povezav v to akcijo in številom izstopajočih povezav iz te akcije. V primeru, da je to razmerje enako 1, se celotno število žetonov v Petrijevi mreži ohrani, v nasprotnem primeru pa spremeni.

### 3.2.5 Drevo označitev v Petrijevi mreži

Razlago pojma *drevesa označitev* v Petrijevi mreži bomo predstavili na konkretnem zgledu Petrijeve mreže. Predpostavimo, da je podana Petrijeva mreža z

matričnim zapisom po izrazu

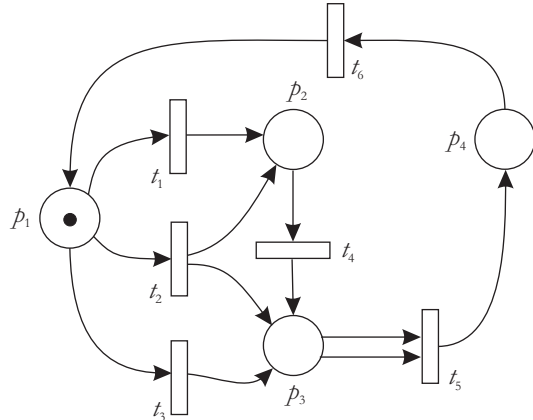
$$P = \{p_1, p_2, p_3, p_4\}, \quad T = \{t_1, t_2, t_3, t_4, t_5, t_6\},$$

$$I = \begin{bmatrix} 1 & 0 & 0 & 0 \\ 1 & 0 & 0 & 0 \\ 1 & 0 & 0 & 0 \\ 0 & 1 & 0 & 0 \\ 0 & 0 & 2 & 0 \\ 0 & 0 & 0 & 1 \end{bmatrix}, \quad O = \begin{bmatrix} 0 & 1 & 0 & 0 \\ 0 & 1 & 1 & 0 \\ 0 & 0 & 1 & 0 \\ 0 & 0 & 1 & 0 \\ 0 & 0 & 0 & 1 \\ 1 & 0 & 0 & 0 \end{bmatrix} \quad (3.24)$$

in začetno označitvijo po izrazu

$$o(k_0) = (1, 0, 0, 0). \quad (3.25)$$

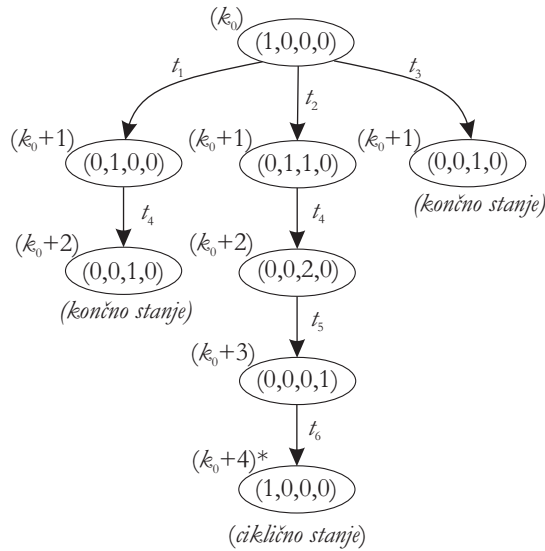
Na sliki 3.5 je predstavljen graf podane Petrijeve mreže z začetno označitvijo žetonov. Glede na podano začetno označitev so na osnovi vizuelnega pregleda



Slika 3.5: Označen graf Petrijeve mreže podane z matričnim zapisom po izrazu (3.24).

grafa na  $k_0$ -tem koraku omogočene akcije  $t_1$ ,  $t_2$  in  $t_3$ . Do enake ugotovitve bi prišli tudi s formalnim preverjanjem omogočenosti akcij po izrazu (3.10). Ob predhodno navedeni predpostavki, da se istočasno ne more sprožiti več akcij, imamo iz začetne označitve (začetnega stanja Petrijeve mreže) tri možne tokove dinamike, ki jih ponazorimo z *drevesom označitev*, predstavljenim na sliki 3.6. Pri tem označitve v drevesu lahko določamo na osnovi vizuelnega pregleda grafa, ali pa na osnovi računskega izraza (3.16).

Drevo označitev s slike 3.6 ponazarja tri možne tokove dinamike. Vsakega od njih lahko zapišemo s *časovnim zaporedjem stanj* Petrijeve mreže ali s *časovnim zaporedjem označitev*, ter s *časovnim zaporedjem izvedenih akcij*. Omenjeni tokovi dinamike so sledеči:



Slika 3.6: Drevo označitev za primer Petrijeve mreže s slike 3.5. Ovalna vozlišča predstavljajo stanja ali označitve Petrijeve mreže, vsako od stanj pa je označeno z indeksom diskretnega časovnega koraka ( $k_0, k_0 + 1, \dots, k_0 + 4$ ).

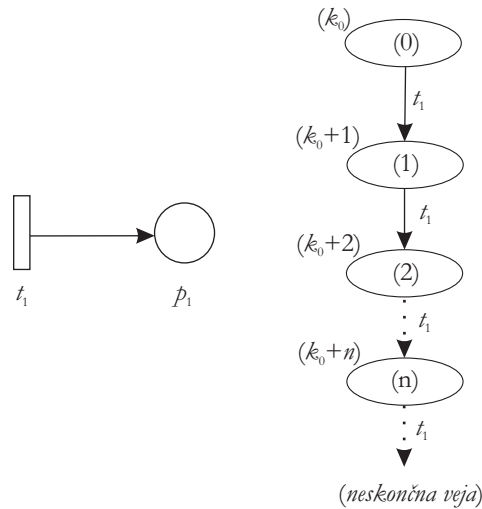
- tok z začetnim proženjem akcije  $t_1$ : po dveh izvedenih akcijah dosežemo **končno stanje** (končno označitev)  $(0, 0, 1, 0)$ , v katerem obtiči model; s tem se dinamika v Petrijevi mreži ustavi;
  - časovno zaporedje izvedenih akcij:  $(t_1, t_4)$ ;
  - časovno zaporedje stanj:  $(1, 0, 0, 0) \mapsto (0, 1, 0, 0) \mapsto (0, 0, 1, 0)$ ;
- tok z začetnim proženjem akcije  $t_2$ : po štirih izvedenih akcijah se vrnemo v začetno stanje  $(1, 0, 0, 0)$ ; omenjeno stanje imenujemo za **ciklično stanje**, enako pa bi lahko imenovali tudi vsa njemu predhodna stanja vse do njegove prejšnje pojavitve;
  - časovno zaporedje izvedenih akcij:  $(t_2, t_4, t_5, t_6)$ ;
  - časovno zaporedje stanj:  $(1, 0, 0, 0) \mapsto (0, 1, 1, 0) \mapsto (0, 0, 2, 0) \mapsto (0, 0, 0, 1) \mapsto (1, 0, 0, 0) \mapsto \dots$ ;
- tok z začetnim proženjem akcije  $t_3$ : po eni izvedeni akciji dosežemo **končno stanje** (končno označitev)  $(0, 0, 1, 0)$ , v katerem obtiči model; s tem se dinamika v Petrijevi mreži ustavi;
  - časovno zaporedje izvedenih akcij:  $(t_3)$ ;
  - časovno zaporedje stanj:  $(1, 0, 0, 0) \mapsto (0, 0, 1, 0)$ ;

Ob analizi dinamike v Petrijevi mreži moramo biti pozorni tudi na akcije brez vhodnih povezav, ki bi vodile od nekih pogojev do opazovane akcije. Ob predpostavki, da je  $t_j$  takšna akcija, zanjo v notaciji pospološenih množic velja izraz

$$I(t_j) = \emptyset. \quad (3.26)$$

Tovrstne akcije so vedno omogočene in se lahko neprestano prožijo, kar posledično vodi v drevesa označitev z **neskončnimi vejami**.

Na levem delu slike 3.7 je predstavljen primer Petrijeve mreže z akcijo  $t_1$  brez vhodnih povezav, na desnem delu pa neskončna veja v njenem drevesu označitev.



Slika 3.7: Primer grafa Petrijeve mreže, kjer je akcija  $t_1$  brez vhodnih povezav in se neprestano proži.

Ključni dejavniki, na katere moramo biti pozorni pri tvorbi in analizi dreves označitev, so tako sledeči:

- *končna stanja ali listi drevesa*: končna stanja v drevesu označitev predstavljajo stanja, v katerih se dinamika v modeliranem sistemu ustavi in opcijsko lahko predstavljajo nepravilno delovanje sistema; praviloma se iz teh stanj modelirani dinamični sistem brez posredovanja iz zunanjega sveta (npr. uporabnika sistema) ne more izvleči;
- *ciklična stanja*: ciklična stanja so v modelih sistemov zaželjena, saj po opravljeni dejavnosti vidni skozi zaporedje akcij ponazarjajo zmožnost vračanja sistema v neko začetno stanje pripravljenosti;
- *neskončne veje v drevesu*: neskončne veje v drevesu označitev modelira nega sistema so nezaželene, saj v realnih sistemih (npr. v računalnikih) ne

moremo zagotoviti poljubne količine resursov (npr. pomnilnika), s katerimi bi lahko realizirali poljubno veliko število možnih različnih sistemskih stanj;

Glede na povedano si v drevesu označitev modeliranega sistema na osnovi Petrijevih mrež želimo čimveč cikličnih stanj, temeljito moramo preveriti smiselnost obstoja končnih stanj, pojavitev neskončnih vej v drevesu pa so enostavno nezaželjene. Ena od metrik za oceno modeliranega sistema je tudi število njegovih različnih stanj ali različnih označitev, do katerih pridemo skozi proces simulacije dinamike. Obvladljivejši so sistemi, pri katerih je število različnih označitev na nivoju modeliranja manjše.

### 3.2.6 Dosegljivost stanj v Petrijevi mreži

Označitev  $o'$  je *neposredno dosegljiva* iz označitve  $o$ , ko obstaja takšna akcija  $t_j$ , ki nas z izvajanjem pripelje iz označitve  $o$  v označitev  $o'$ . Povedano drugače je  $o'$  neposredno dosegljiva iz  $o$  takrat, ko velja izraz

$$o' = \delta(o, t_j), \quad (3.27)$$

pri čemer  $\delta$  predstavlja funkcijo, ki staro označitev  $o$  (natančneje  $o(k)$ ) na osnovi izvedene akcije  $t_j$  preslika v novo označitev  $o'$  (natančneje  $o(k+1)$ ).

Množica *dosegljivih stanj*  $R(C, o)$  je množica vseh označitev, ki so dosegljive iz označitve  $o$ . Označitev  $o'$  pripada množici  $R(C, o)$ , če obstaja zaporedje akcij, ki nas pripelje iz označitve  $o$  v označitev  $o'$ . Omenjeno zaporedje mora vsebovati najmanj eno akcijo. V tem primeru velja izraz

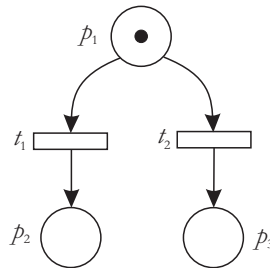
$$\text{if } (o' \in R(C, o)) \text{ and } (\exists t_j \in T : o'' = \delta(o', t_j)) \text{ then } o'' \in R(C, o), \quad (3.28)$$

ki ponazarja, da so vse neposredno dosegljive označitve  $o''$  iz označitve  $o'$  tudi v množici dosegljivih stanj  $R(C, o)$ . Zaradi preglednosti zapisa smo časovne indekse označitev v tem razdelku namerno izpustili.

### 3.2.7 Nedeterminizem in konkurenčnost

Eden od temeljnih hipotetičnih konstruktov, ki ga Petrijeve mreže omogočajo, je *nedeterminizem* izbire akcije za proženje. Omenjeno značilnost razložimo s primerom Petrijeve mreže, podane z grafom predstavljenim na sliki 3.8. Glede na označitev Petrijeve mreže sta za proženje omogočeni akciji  $t_1$  in  $t_2$ , pri čemer se izbira akcije, ki bo sprožena izvede nedeterministično ali naključno. Slednje pomeni, da bo naključno izbrana akcija od obeh omogočenih prevzela žeton in bo izvedena, druga akcija pa v nadaljevanju zaradi odsotnosti žetona v pogoju  $p_1$  ne bo izvedena.

Pojem *konkurenčnosti* v primeru s slike 3.8 ponazarja konkuriranje ali tekmovanje akcij  $t_1$  in  $t_2$  za prevzem žetona iz pogoja  $p_1$ .



Slika 3.8: Graf Petrijeve mreže nedeterministične izbire poti žetona in konku-  
renčnosti akcij  $t_1$  in  $t_2$ .

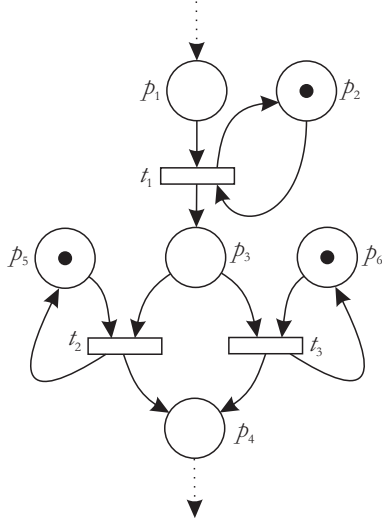
### 3.3 Splošni zgledi modeliranja s Petrijevimi mrežami

V pričajočem razdelku si bomo ogledali nekaj konkretnih primerov modeliranja različnih dinamičnih sistemov s Petrijevimi mrežami, s čimer se bomo končno usmerili tudi na pomene akcij in pogojev, o katerih do sedaj nismo govorili. Večina primerov je povzeta po viru [10], vsi dinamični sistemi pa so predstavljeni z grafi Petrijevih mrež.

#### 3.3.1 Računalniški strežniški sistem

Predpostavimo, da imamo opravka z računalniškim strežniškim sistemom, ki ga sestavljajo računalniške enote  $R_1$ ,  $R_2$  in  $R_3$ . Vsaka zahteva, ki vstopi v strežniški sistem, mora biti najprej obdelana na enoti  $R_1$ , v nadaljevanju pa na enoti  $R_2$  ali na enoti  $R_3$ . Na sliki 3.9 je predstavljen graf Petrijeve mreže, ki ponazarja opisani sistem, pri čemer prekinjene povezave označujejo vhodno in izhodno točko strežniškega sistema. Pomeni posameznih pogojev in akcij na sliki 3.9 so sledeči:

- $p_1$ : v sistem je vstopila zahteva in čaka na obdelavo v enoti  $R_1$ ;
- $p_2$ : enota  $R_1$  je prosta;
- $p_3$ : zahteva čaka na obdelavo v enoti  $R_2$  ali v enoti  $R_3$ ;
- $p_4$ : zahteva je dokončno obdelana;
- $p_5$ : enota  $R_2$  je prosta;
- $p_6$ : enota  $R_3$  je prosta;
- $t_1$ : zahteva se obdeluje na  $R_1$ ;
- $t_2$ : zahteva se obdeluje na  $R_2$ ;



Slika 3.9: Graf Petrijeve mreže za ponazoritev računalniškega strežniškega sistema.

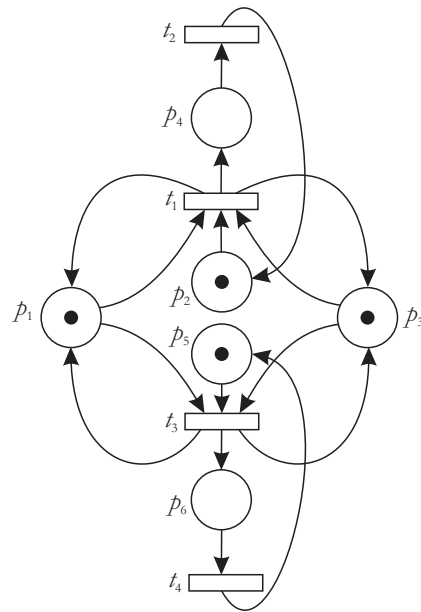
- $t_3$ : zahteva se obdeluje na  $R_3$ ;

Komentar modela s slike 3.9 bi bil sledeč:

- predstavljeni model vsebuje nedeterministično izbiro enote  $R_2$  ali  $R_3$ , do katere pride v pogoju  $p_3$ ; slednja je nedeterministična le pod pogojem, da sta obe enoti prosti; v primeru, da je prosta le ena, zahteva prevzame prosta enota, v primeru pa da sta zasedeni obe, zahteva čaka na prvo prosto enoto;
- izpolnjeni pogoji  $p_2$ ,  $p_5$  in  $p_6$  predstavljajo proste računalniške enote; imenujemo jih za *resurse*, do katerih mora priti zahteva, da bi bila ustrezeno postrežena; pomembno je, da po zaseganju resursa (prevzemu žetona iz pogoja, ki označuje prostost resursa) in izvedbi akcije zahteva resurs sprosti (vrne žeton v pogoj, ki označuje prostost resursa);

### 3.3.2 Problem dveh kitajskih mislecev

Dva kitajska misleca sedita za okroglo mizo. Vsak od njiju se izmenično bodisi prehranjuje, bodisi razmišlja. Za prehranjevanje potrebuje posamezni mislec dve paličici, pri čemer je na začetku dinamičnega procesa ena paličica na levi in druga paličica na desni med sedočima mislecema. Z vidika posameznega misleca je tako prisotnih dovolj paličic za prehranjevanje, z vidika obeh pa število razpoložljivih paličic omogoča istočasno prehranjevanje le enemu od obeh mislecev. Na sliki 3.10 je predstavljen graf Petrijeve mreže, ki ponazarja opisani sistem. Pomeni posameznih pogojev in akcij na sliki 3.10 so sledeči:



Slika 3.10: Graf Petrijeve mreže za ponazoritev problema dveh kitajskih meditatorjev.

- $p_1$ : prva paličica je prosta;
- $p_2$ : prvi mislec je pripravljen za prehranjevanje;
- $p_3$ : druga paličica je prosta;
- $p_4$ : prvi mislec je pripravljen za razmišljanje;
- $p_5$ : drugi mislec je pripravljen za prehranjevanje;
- $p_6$ : drugi mislec je pripravljen za razmišljanje;
- $t_1$ : prvi mislec se prehranjuje;
- $t_2$ : prvi mislec razmišlja;
- $t_3$ : drugi mislec se prehranjuje;
- $t_4$ : drugi mislec razmišlja;

Komentar modela s slike 3.10 bi bil sledeč:

- zajetje obeh paličic je izvedeno nedeterministično, saj na osnovi označitve ne moremo določiti, kateri od obeh mislecev bo pridobil obe paličici; pri dodelitvi paličic lahko pride do *smrtnega objema* (angl. *deadlock*) ali

končnega stanja drevesa označitev Petrijeve mreže, če eden od mislecev pridobi eno paličico, drugi pa drugo; v tem primeru bosta oba misleca čakala še na pridobitev druge paličice, pri čemer je nobeden od njiju ne bo sprostil, kar vodi v stanje sistema (označitev), ki je končno;

- model sistema vsebuje dva resursa (paličici), ki ju ponazarjata pogoja  $p_1$  in  $p_3$ ; pomembno je, da po izvedenem prehranjevanju (izvedbi akcij  $t_1$  ali  $t_3$ ) pride do vračila paličic v njuna izhodiščna pogoja  $p_1$  in  $p_3$ ;
- izredno pomembna je začetna označitev, ki z žetoni v pogojih  $p_1$  in  $p_3$  inicializira začetne resurse (paličice) in z žetoni v pogojih  $p_2$  in  $p_5$  začetna stanja, v katerih se nahajata misleca;

### 3.3.3 DO WHILE programski stavek s čuvajem

DO WHILE programski stavek definira število izvajanj zaporedja programskih ukazov  $S$ , pri čemer se zaporedje prvič izvede brezpogojno, vse njegove nadaljnje izvedbe pa so pogojene z veljavnostjo pogoja  $P$ . Formalno programski stavek zapišemo z izrazom

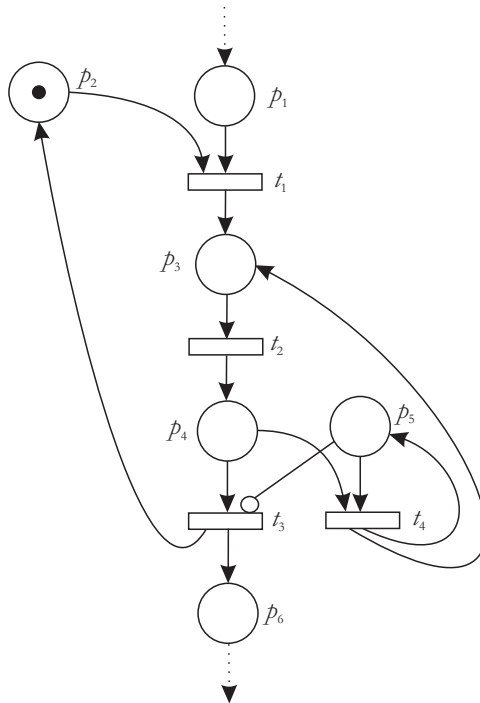
$$do \{S\} \ while(P). \quad (3.29)$$

Na sliki 3.11 je predstavljen graf Petrijeve mreže, ki ponazarja opisani stavek. Pomeni posameznih pogojev in akcij na sliki 3.11 so sledeči:

- $p_1$ : v sistem je vstopila zahteva za izvajanje programskega stavka;
- $p_2$ : pogoj predstavlja funkcijo *čuvaja*; le ob njegovi prisotnosti je možno izvršiti programski stavek;
- $p_3$ : zahteva čaka na izvedbo  $S$  stavka;
- $p_4$ : izvedba  $S$  stavka je opravljena;
- $p_5$ : pogoj  $P$ ;
- $t_1$ : ob prisotnosti čuvaja se izvede vstop v programski stavek;
- $t_2$ : izvede se  $S$  stavek,
- $t_3$ : ker pogoj  $P$  ni izpolnjen, se izvajanje programskega stavka zaključi in čuvaj se vrne v svoj izhodiščni pogoj;
- $t_4$ : ker je pogoj  $P$  izpolnjen, se vrnemo na ponovno brezpogojno izvajanje stavka  $S$ ;

Komentar modela s slike 3.11 bi bil sledeč:

- pogoj  $p_2$  predstavlja funkcijo *čuvaja*, ki spremišča zahtevo za izvajanjem programskega stavka skozi notranjost grafa Petrijeve mreže; v nadaljevanju njegova odsotnost v izhodiščnem pogoju  $p_2$  onemogoča vstopanje



Slika 3.11: Graf Petrijeve mreže za ponazoritev DO WHILE programskega stavka.

novih zahtev v programski stavek, če je le ta že zaseden; s tem onemogočimo nekonsistentnost njegovega izvajanja (npr. vrednosti spremenljivk, število ponovitev zaporedja ukazov itd.); ko se posamezno izvajanje programskega stavka preko akcije  $t_3$  dokonča, se čuvaj vrne v izhodiščni pogoj  $p_2$  in je pripravljen za spremeljanje naslednje zahteve za izvajanje programskega stavka; v splošnem nam torej čuvaj onemogoča vstopanje večjega števila zahtev (žetonov) v podsegment grafa Petrijeve mreže;

- iz pogoja  $p_5$  v akciji  $t_3$  vstopa nam do sedaj nepoznana vrsta povezave, ki se ne zaključuje s puščico, temveč s krožcem; gre za *inhibirno* povezavo, ki ima nasproten pomen, kot ga ima običajna povezava; po inhibirni povezavi se v akciji pripelje žeton (in s tem soaktivira akcijo), če v izvornem pogoju inhibirne povezave ni žetona, ali povedano drugače, če izvorni pogoj inhibirne povezave ni izpolnjen; v našem primeru se izvajanje programskega stavka zaključuje preko akcije  $t_3$ , pri čemer se to zgodi takrat, ko pogoj  $P$  ( $p_5$ ) ni več izpolnjen;
- po vsakem zaključku akcije  $t_2$  (izvedba zaporedja programskih ukazov) preverjamo pogoj  $P$  ( $p_5$ ); pri tem je iz slike 3.11 razvidno, da z uspešnim

preverjanjem (izvedbo akcije  $t_4$ ) pogoj  $p_5$  spremenimo (mu odvzamemo žeton), kar pomeni, da moramo po preverjanju omenjeni žeton vrniti v opazovani pogoj  $p_5$ ;

- pomebno je začetno nahajanje žetona v pogoju  $p_2$ , s čimer modelu dodelimo stražarja; brez njega izvajanje programskega stavka ne bi bilo mogoče;

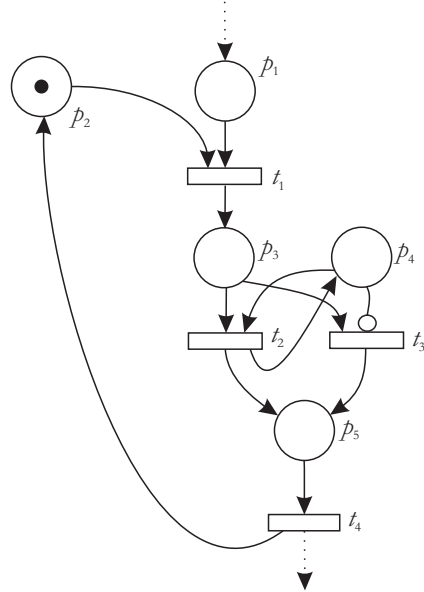
Ob uporabi inhibirnih povezav se moramo zavedati, da v tem primeru nimamo več na voljo formalnega zapisa Petrijeve mreže (problem zapisa funkcij  $I$  in  $O$ ) in ne veljata več izraza (3.10) in (3.16). Uporaba inhibirnih povezav ne sodi v domeno klasičnih Petrijevih mrež, temveč je ena od njihovih možnih razširitev.

### 3.3.4 IF programski stavek s čuvanjem

IF programski stavek ob izpolnjenosti pogoja  $P$  vodi v izvajanje zaporedja programskih ukazov  $S_1$ , ob njegovi neizpolnjenosti pa v izvajanje zaporedja programskih ukazov  $S_2$ . Formalno programski stavek zapišemo z izrazom

$$\text{if } (P) \text{ then } \{S_1\} \text{ else } \{S_2\}. \quad (3.30)$$

Na sliki 3.12 je prikazan graf Petrijeve mreže, ki ponazarja opisani stavek, v katerem pogoj  $p_2$  zopet predstavlja funkcijo čuvanja. Pomeni posameznih pogojev



Slika 3.12: Graf Petrijeve mreže za ponazoritev IF programskega stavka.

in akcij na sliki 3.12 so sledeči:

- $p_1$ : v sistem je vstopila zahteva za izvajanje programskega stavka;
- $p_2$ : pogoj predstavlja funkcijo čuvaja programskega stavka;
- $p_3$ : zahteva je pred preverjanjem veljavnosti pogoja  $P$ , ki določi katero zaporedje ukazov izvesti;
- $p_4$ : pogoj  $P$ ;
- $p_5$ : eno od obeh možnih zaporedij programskih ukazov je izvedeno;
- $t_1$ : ob prisotnosti čuvaja se izvede vstop v programski stavek;
- $t_2$ : izvede se zaporedje programskih ukazov  $S_1$ ;
- $t_3$ : izvede se zaporedje programskih ukazov  $S_2$ ;
- $t_4$ : programski stavek se z vračilom čuvaja v izhodiščni pogoj dokončno izvede;

Komentar modela s slike 3.12 bi bil sledeč:

- za vejanje programskega toka ali izbiro zaporedja programskih ukazov izvajamo preverjanje pogoja  $P$  (pogoj  $p_4$ ), v katerem zopet uporabimo inhibirno povezavo;
- preverjanje pogoja  $P$  preko povezave ( $p_4, t_2$ ) spreminja veljavnost pogoja  $P$  ( $p_4$ ), zato akcija  $t_2$  v pogoj  $p_4$  po izvedbi vrne en žeton;

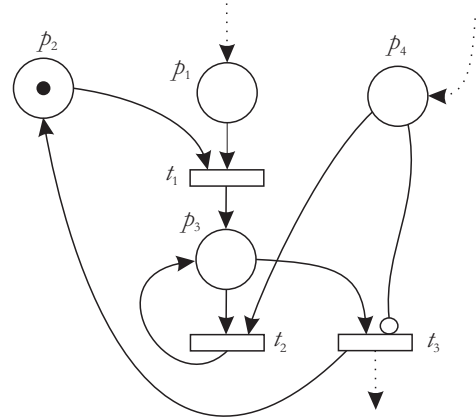
### 3.3.5 FOR programski stavek s čuvajem

FOR programski stavek definira  $n$ -kratno izvajanje zaporedja programskih ukazov  $S$ . Formalno programski stavek zapišemo z izrazom

$$\text{for } (i = 1 \text{ to } n) \text{ do } \{S\}. \quad (3.31)$$

Na sliki 3.13 je prikazan graf Petrijeve mreže, ki ponazarja opisani stavek. Pomeni posameznih pogojev in akcij na sliki 3.13 so sledeči:

- $p_1$ : v sistem je vstopila zahteva za izvajanje programskega stavka;
- $p_2$ : pogoj predstavlja funkcijo čuvaja programskega stavka;
- $p_3$ : zahteva je pred odločitvijo ali stavek  $S$  glede na vrednost števca  $n$  izvesti, ali ne;
- $p_4$ : predstavlja števec  $n$ , ki mora biti pred začetkom izvajanja programskega stavka inicializiran z  $n$  žetoni;
- $t_1$ : ob prisotnosti čuvaja se izvede vstop v programski stavek;
- $t_2$ : izvede se stavek  $S$ ;



Slika 3.13: Graf Petrijeve mreže za ponazoritev FOR programskega stavka.

- $t_3$ : programski stavek je dokončno izveden v celoti;

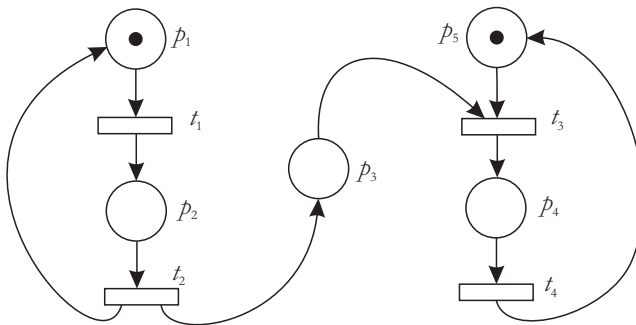
Komentar modela s slike 3.13 bi bil sledeč:

- črtkana povezava, ki vstopa v  $p_4$  brez izvora ponazarja potrebo, da se pred samo izvedbo FOR stavka inicializira število žetonov (število  $n$ ) v pogoju  $p_4$ ;
- pogoj  $p_4$  predstavlja števec, ki ga z vsako izvedbo zaporedja programskih ukazov  $S$  dekrementiramo za 1; ko le ta pada na 0, izvedba zaporedja programskih ukazov  $S$  ni več mogoča in zaradi inhibirne povezave ( $p_4, t_3$ ) se izvede akcija  $t_3$ , ki vrne čuvaja na izhodiščno mesto in s tem je programski stavek končan;

### 3.3.6 Proizvodno porabniški sistem

Proizvodno porabniški sistem (angl. *producer consumer system*) je sestavljen iz dveh procesov in sicer proizvodnega in porabniškega. Ključni problem omenjenega sistema je vzpostavitev sinhronizacije med obema procesoma. Na sliki 3.14 je predstavljen graf Petrijeve mreže, ki ponazarja izhodišče za omenjeno sinhronizacijo. Levi del slike predstavlja proizvodni proces, desni del slike pa porabniški proces. S prikazanim modelom ponazorimo predajo proizvedenih enot porabniškemu procesu. Pomeni posameznih pogojev in akcij s slike 3.14 so sledeči:

- $p_1$ : proizvodni proces je pripravljen na proizvodnjo ene enote;
- $p_2$ : ena enota je proizvedena;
- $p_3$ : pogoj predstavlja funkcijo vmesnika (angl. *buffer*), kjer proizvedene enote čakajo na prevzem s strani porabniškega procesa;

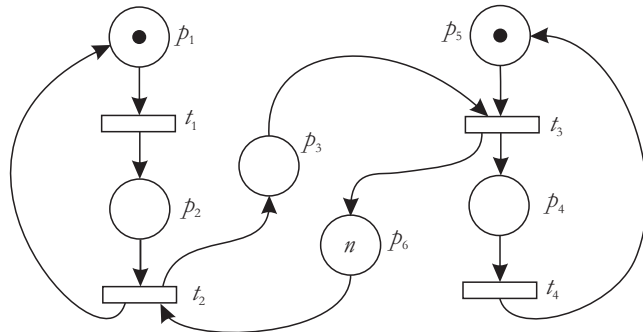


Slika 3.14: Graf Petrijeve mreže za ponazoritev proizvodno porabniškega sistema. Levi del slike predstavlja proizvodni, desni del slike pa porabniški proces.

- $p_4$ : ena enota je prevzeta iz vmesnika;
- $p_5$ : porabniški proces je pripravljen na porabo ene enote;
- $t_1$ : proizvede se ena enota;
- $t_2$ : proizvodni proces pred enoto v vmesnik ( $p_3$ ) in inicializira se ponovna pripravljenost na proizvodnjo (žeton preide v  $p_1$ );
- $t_3$ : porabniški proces prevzame enoto iz vmesnika;
- $t_4$ : porabniški proces porabi enoto in inicializira se ponovna pripravljenost na porabo (žeton preide v  $p_5$ );

Komentar modela s slike 3.14 bi bil sledeč:

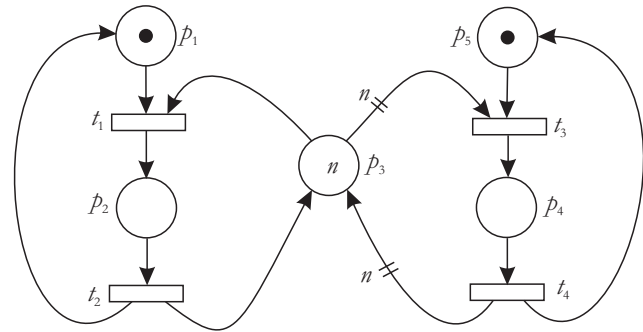
- pomembna je začetna označitev, s katero inicializiramo stanje proizvodnega (žeton v pogoju  $p_1$ ) in porabniškega procesa (žeton v pogoju  $p_5$ ); brez vsaj enega žetona v proizvodnem procesu in vsaj enega žetona v porabniškem procesu izmenjava enot med procesoma ne bi bila mogoča, saj bi bila dinamika obeh procesov v celoti onemogočena;
- evidentna slabost modela se izkazuje z dogajanjem v pogoju  $p_3$ , v katerem lahko pride do prekomernega kopiranja števila žetonov, ki jih realni vmesnik (sladišče enot) zaradi svoje omejene kapacitete ne bi bil zmožen hraniti; v ta namen na sliki 3.15 predstavimo graf Petrijeve mreže, ki predstavlja izboljšan model opisanega sistema; v njem nastopa nov pogoj  $p_6$ , v katerem je na začetku  $n$  žetonov, pri čemer število  $n$  predstavlja kapaciteto vmesnika; ko se iz  $p_6$  odstrani vse žetone, akcija  $t_2$  ne more več odlagati enot v vmesnik in je potrebno za nadaljevanje procesa proizvodnje počakati fazo porabe, da v  $p_6$  dostavi vsaj en žeton (odvzame iz vmesnika vsaj eno enoto);



Slika 3.15: Graf Petrijeve mreže za ponazoritev proizvodno porabniškega procesa s končnim vmesnikom.

### 3.3.7 Problem branja in pisanja

Problem branja in pisanja (angl. *read - write problem*) izhaja iz njunega eventuelnega paralelnega izvajanja v domeni elektronskih podatkovnih baz, do katerih dostopa večje število uporabnikov in s tem posledično do potrebne sinhronizacije obeh procesov. Pri tem zahteve uporabnikov ločujemo na skupini zahtev za branje in zahtev za pisanje. V primeru porajanja zahtev za branje običajno omogočamo  $n$  paralelnih dostopov (pravic do branja) do podatkovne baze, v primeru porajanja zahtev za pisanje pa moramo predhodno podatkovno bazo zakleniti in s tem onemogočiti vsa aktivna branja in morebitna ostala pisanja. Na sliki 3.16 je predstavljen graf Petrijeve mreže, ki ponazarja opisani sistem, pri čemer levi del slike predstavlja proces porajanja zahtev za branje, desni del slike pa proces porajanja zahtev za pisanje. Pomeni posameznih pogojev in



Slika 3.16: Graf Petrijeve mreže za ponazoritev problema branja in pisanja, pri čemer levi del slike predstavlja proces porajanja zahtev za branje, desni del slike pa proces porajanja zahtev za pisanje.

akcij s slike 3.16 so sledeči:

- $p_1$ : pripravljena je zahteva za branje;
- $p_2$ : omogočen je dostop do enkratnega branja podatkov;
- $p_3$ : vmesnik, v katerem je shranjenih  $n$  dostopnih pravic;
- $p_4$ : omogočen je dostop do enkratnega pisanja podatkov;
- $p_5$ : pripravljena je zahteva za pisanje;
- $t_1$ : izvede se zaseganje začasne pravice za enkratno branje iz  $p_3$ ;
- $t_2$ : izvede se branje, v nadaljevanju pa se začasna pravica do branja vrne v  $p_3$ ;
- $t_3$ : izvede se zaseganje začasne  $n$ -kratne pravice za pisanje (zaseg  $n$  žetonov iz pogoja  $p_3$ );
- $t_4$ : izvede se pisanje, v nadaljevanju pa se začasna  $n$ -kratna pravica do pisanja vrne v  $p_3$ ;

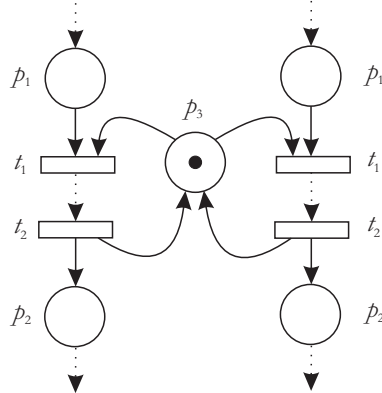
Komentar modela s slike 3.16 bi bil sledeč:

- pogoj  $p_3$  predstavlja skladišče bralno - pisalnih pravic; začetno število žetonov v  $p_3$  predstavlja število vseh bralno - pisalnih pravic;
- začetna označitev mora vsebovati vsaj en žeton v enem od pogojev v levem bralnem ciklu, vsaj en žeton v enem od pogojev v desnem pisальнem ciklu in vsaj en žeton v skladišču bralno - pisalnih pravic (pogoju  $p_3$ ), ki ponazarja njegovo kapaciteto;
- povezavi  $(p_3, t_3)$  in  $(t_4, p_3)$  sta označeni s številom  $n$ ; slednje ponazarja število povezav, ki tečejo med navedenima ponoroma in izvoroma; tako proces pisanja venomer zajame vseh  $n$  razpoložljivih pravic za dostop do podatkovne baze in jih po izvedbi venomer tudi vseh  $n$  istočasno vrača;

### 3.3.8 Problem medsebojnega izključevanja

Problem medsebojnega izključevanja (angl. *mutual exclusion problem*) izhaja iz obstoja *kritičnih sekcijs* (angl. *critical section*) opazovanega sistema, v katerih se istočasno ne sme nahajati več zahtev. Na sliki 3.17 je prikazan graf Petrijeve mreže, ki ponazarja model dveh ločenih procesov ali kritičnih sekcijs (dogajanje od vključno akcije  $t_1$  do vključno akcije  $t_2$ ) z dodeljevanjem pravice do dostopa do sekcijs preko pogoja  $p_3$ . Pomeni posameznih akcij in pogojev s slike 3.17 so sledeči:

- $p_1$ : pred kritično sekciijo se nahaja zahteva;
- $p_2$ : zahteva je zapustila kritično sekciijo;



Slika 3.17: Graf Petrijeve mreže za ponazoritev eliminacije možnosti istočasnega nahajanja več zahtev v kritičnih sekcijah.

- $p_3$ : prisotnost enkratne pravice dostopa do kritične sekcije;
- $t_1$ : dodelitev dostopne pravice do kritične sekcije iz pogoja  $p_3$  in njen začetek;
- $t_2$ : konec kritične sekcije in vračanje dostopne pravice v pogoj  $p_3$ ;

Komentar modela s slike 3.17 bi bil sledeč:

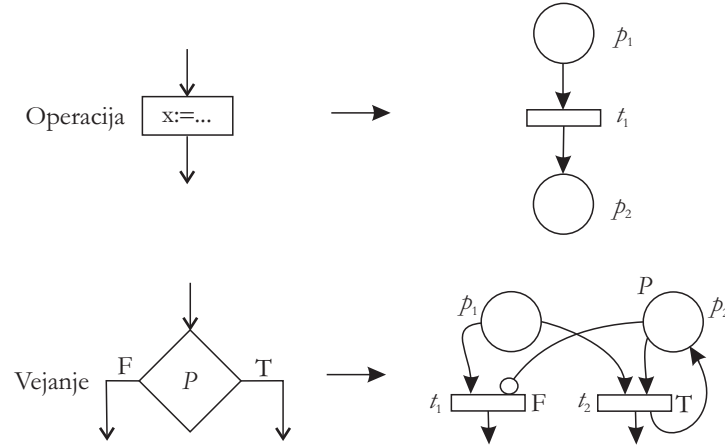
- začetna označitev mora vsebovati natanko en žeton v  $p_3$ ;
- pogoj  $p_3$  nam izvaja funkcijo *stražarja* sekcije ali funkcijo *semaforja*<sup>5</sup>, ki dovoljuje vstop v sekcijs;

Kritične sekcije so običajno vezane na dostop do podatkov in njihovo spreminjanje ter s tem posredno vezane na problematiko branja in pisanja podatkov.

### 3.3.9 Modeliranje diagrama poteka

S Petrijevimi mrežami lahko modeliramo tudi diagrame poteka (angl. *flowchart*), ki predstavljajo eno od osnovnih metod za enolično ponazarjanje delovanja algoritmov. Osnovni konstrukti diagrama poteka so *operacije* (prirejanja) in *vezanja*. V prvih prihaja do neposrednega in posrednega prirejanja spremenljivk algoritma, v drugih pa vejimo programski tok, glede na veljavnost nekega pogoja, pri čemer je ena od poti pogojena z veljavnostjo pogoja (angl. *true* - T), druga pa z njegovo neveljavnostjo (angl. *false* - F). Na sliki 3.18 so prikazane preslikave konstruktov diagrama poteka v konstrukte Petrijevih mrež. Komentar modelov s slike 3.18 bi bil sledeč:

<sup>5</sup>Pojma *stražar* in *semafor* povzemoamo po terminologiji operacijskih sistemov in sistemskih programske opreme.



Slika 3.18: Preslikava gradnikov diagramov poteka (levi del slike) na osnovne konstrukte Petrijevih mrež (desni del slike).

- pretvorba operacije: operacija prirejanja se v konstruktu Petrijeve mreže izvede v akciji  $t_1$ ;
- pretvorba vejanja: po pretvorbi pogoj  $p_2$  predstavlja preverjani pogoj  $P$  za izvedbo vejanja programskega toka; akcija  $t_1$  je prvi korak na poti v primeru neveljavnosti preverjanega pogoja (F), akcija  $t_2$  pa prvi korak na poti v primeru njegove veljavnosti (T);

### 3.3.10 Modeliranje delovanja končnega avtomata

Zapis kakršnegakoli končnega avtomata (angl. *finite state machine*) temelji na osnovi obstoja treh nepraznih množic  $X$ ,  $Q$  in  $Y$ . Termin „končnosti“ avtomata določa končnost vseh treh navedenih množic. Množica  $X$  predstavlja nabor različnih možnih vhodnih črk avtomata, množica  $Q$  nabor različnih možnih notranjih stanj avtomata in množica  $Y$  nabor različnih možnih izhodnih črk avtomata. Formalno tako končni avtomat po viru [12] zapišemo z izrazom

$$A = (X, Q, Y, \delta, \lambda). \quad (3.32)$$

$\delta$  predstavlja funkcijo za tvorbo novega stanja avtomata na naslednjem diskretnem časovnem koraku, kar zapišemo z izrazoma

$$\delta : X \times Q \mapsto Q, \quad (3.33)$$

$$D^1 q = \delta(x, q), \quad x \in X, \quad q \in Q, \quad (3.34)$$

pri čemer zapis  $D^1 q$  predstavlja novo stanje avtomata,  $\lambda$  pa predstavlja funkcijo za tvorbo izhodne črke avtomata. Poznamo dve vrsti končnih avtomatov in sicer

$X/Q$	$q_1$	$q_2$	$q_3$
$x_1$	$q_2/y_1$	$q_3/y_1$	-
$x_2$	-	$q_2/y_2$	$q_3/y_2$

Tabela 3.1: Tabela prehajanj med stanji končnega avtomata, prikazanega na sliki 3.19. Prva črka na posamezni povezavi predstavlja vhodno, druga pa izhodno črko.

Mealyjeve in Mooreove končne avtomate. V primeru Mealyjevega končnega avtomata funkcijo  $\lambda$  ponazorimo z izrazoma

$$\lambda : X \times Q \mapsto Y, \quad (3.35)$$

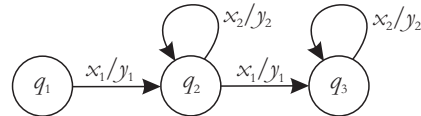
$$y = \lambda(x, q), \quad x \in X, \quad q \in Q, \quad y \in Y, \quad (3.36)$$

v primeru Moorovega avtomata pa z izrazoma

$$\lambda : Q \mapsto Y, \quad (3.37)$$

$$y = \lambda(q), \quad q \in Q, \quad y \in Y. \quad (3.38)$$

Predpostavimo, da imamo opravka z enostavnim Mealyjevim končnim avtomatom, predstavljenim z njegovim diagramom prehajanja stanj na sliki 3.19. Predstavljeni avtomat formalno zapišemo z izrazom



Slika 3.19: Grafična ponazoritev diagrama prehajanja stanj vzorčnega končnega avtomata.

$$X = \{x_1, x_2\}, \quad Q = \{q_1, q_2, q_3\}, \quad Y = \{y_1, y_2\} \quad (3.39)$$

in s prehajalno tabelo 3.1.

Pravila za formiranje modela končnega Mealyjevega avtomata z ekvivalentno Petrijevo mrežo lahko strnemo v naslednje alinee:

- črke vhodne abecede se preslikajo v pogoje; za naš primer tako velja sklep  $X = \{x_1, x_2\} \Rightarrow P_1 = \{p_{x1}, p_{x2}\}$ ;
- stanja avtomata se preslikajo v pogoje; za naš primer tako velja sklep  $Q = \{q_1, q_2, q_3\} \Rightarrow P_2 = \{p_{q1}, p_{q2}, p_{q3}\}$ ;

- prehajanja med stanji avtomata, ki istočasno vršijo formacijo izhodnih črk, se preslikajo v akcije; za naš primer tako formiramo množico  $T_1 = \{t_1, t_2, t_3, t_4\}$ , pri čemer so posamezne akcije bodoče Petrijeve mreže povezane s funkcijama avtomata  $\delta$  in  $\lambda$ , kar simbolično zapišemo z izrazoma

$$t_1 : (\delta(x_1, q_1), \lambda(x_1, q_1)), \quad t_2 : (\delta(x_1, q_2), \lambda(x_1, q_2)), \quad (3.40)$$

$$t_3 : (\delta(x_2, q_2), \lambda(x_2, q_2)), \quad t_4 : (\delta(x_2, q_3), \lambda(x_2, q_3)); \quad (3.41)$$

- ker se formacija črke izvede že v akciji, ki izraža posamezno prehajanje v avtomatu, moramo za vsako črko izhodne abecede pripraviti le pogoj, v katerega se bodo odlagali žetoni, kar bo ponazarjalo tvorbo izhodne črke; za naš primer tako velja sklep  $Y = \{y_1, y_2\} \Rightarrow P_3 = \{p_{y_1}, p_{y_2}\}$ ;
- formira se dokončna množica pogojev  $P$  ( $P = P_1 \cup P_2 \cup P_3$ ); za naš primer tako velja izraz

$$P = \{p_{x1}, p_{x2}, p_{q1}, p_{q2}, p_{q3}, p_{y1}, p_{y2}\}, \quad T = \{t_1, t_2, t_3, t_4\}; \quad (3.42)$$

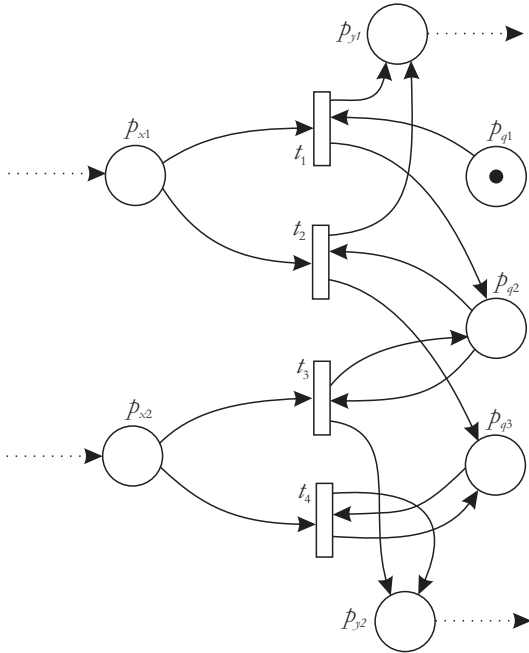
Na sliki 3.20 je predstavljen model grafa Petrijeve mreže, ki ponazarja delovanje končnega avtomata s slike 3.19. Formalizacijo tvorbe matrik  $I$  in  $O$  Petrijeve mreže prepustimo bralcu, pogojena pa je s potrebnimi pogoji za spremenjanje stanja avtomata in novimi stanji, ki jih avtomat dosega. Z vidika izvajanja mreže je pomembno, da v enega od pogojev v mreži, ki ponazarjajo stanja avtomata ( $p_{q1}, p_{q2}, p_{q3}$ ), vstavimo na začetku natanko en žeton, s čimer inicializiramo začetno stanje modeliranega avtomata. Vstopajoči črtkani povezavi v  $p_{x1}$  in  $p_{x2}$  simbolizirata prihajanje vhodnih črk iz zunanjega sveta, izstopajoči črtkani povezavi iz  $p_{y1}$  in  $p_{y2}$  pa simbolizirata odhajanje izhodnih črk proti zunanjemu svetu.

### 3.3.11 Petrijeve mreže kot generatorji jezikov

V predhodnih razdelkih smo bili pozorni predvsem na pogoje, označitve in zaporedja označitev. V pričajoče razdelku bomo pozornost preusmerili na zaporedje proženih akcij, ki okarakterizirajo modelirani sistem. V kontekstu *jezikov Petrijevih mrež* posamezna sprožena akcija generira nek *znak* iz abecede, zaporedje sproženih akcij *besedo* tvorjeno na osnovi abecede, vsa možna zaporedja proženih akcij pa *jezik* opazovane Petrijeve mreže. Ob tem smo že predhodno predpostavili, da se dve akciji ne moreta sprožiti istočasno. V nadaljevanju zapišimo formalno definicijo jezika Petrijeve mreže.

**Definicija 9**  $L$  je jezik Petrijeve mreže, če obstajajo Petrijeva mreža  $C=(P, T, I, O)$ , preslikava  $\rho : T \rightarrow \Sigma$ , začetna označitev  $o(k_0)$  in množica končnih označitev  $F$ , tako da velja izraz

$$L = \{\rho(\beta) \in \Sigma^* : \beta \in T^* \text{ and } \delta(o(k_0), \beta) \in F\}. \quad (3.43)$$



Slika 3.20: Pretvorba končnega avtomata s slike 3.19 v graf Petrijeve mreže.

Pri tem  $\Sigma$  predstavlja množico vseh črk nekega jezika,  $\beta$  poljubno zaporedje izvedenih akcij,  $\Sigma^*$  množico vseh možnih tvorb besed glede na množico črk jezika,  $T^*$  množico vseh možnih zaporedij akcij,  $F$  množico vseh končnih označitev Petrijeve mreže,  $\delta$  pa preslikovalno funkcijo, ki na osnovi začetne označitve  $\sigma(k_0)$  in zaporedja akcij  $\beta$  formira neko označitev.  $\rho(\beta)$  tako predstavlja besedo tvorjeno na osnovi zaporedja akcij (zaporedja črk), pri čemer po tvorbi te besede v Petrijevi mreži ni več omogočenih nobenih akcij. Lingvistično bi tako izraz (3.43) lahko zapisali na sledeč način: „*Preslikava zaporedja akcij v domeno zaporedja črk (torej besedo) predstavlja besedo jezika opazovane Petrijeve mreže, (i) če je zaporedje akcij v opazovani Petrijevi mreži možno izvesti in če (ii) je označitev, ki jo dosežemo z izvedbo zaporedja akcij končna označitev opazovane Petrijeve mreže*“. Velja, da sta dve Petrijevi mreži *ekvivalentni* natanko takrat, ko imata enaka jezika.

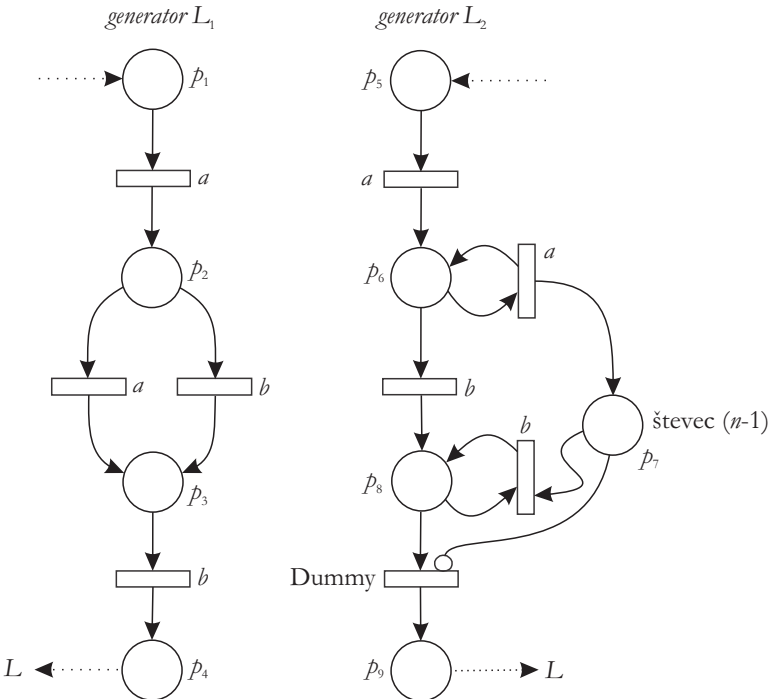
Predpostavimo, da imamo opravka z jezikom  $L$ , ki ga formalno zapišemo kot unijo dveh jezikov z izrazom

$$L = L_1 \cup L_2, \quad L_1 = a(a \vee b)b, \quad L_2 = a^n b^n, \quad n \geq 1, \quad (3.44)$$

pri tem pa si zastavimo nalogu, da poiščemo graf Petrijeve mreže, ki modelira *generator besed* tovrstnega jezika. Rešitev bomo iskali parcialno in sicer se bomo najprej polotili iskanja generatorjev za jezika  $L_1$  in  $L_2$ . Pri tem bomo

predpostavljeni, da posamezne črke besede jezika lahko generirajo le posamezne akcije v Petrijevi mreži.

Generator jezika  $L_1$  je prikazan na levem delu slike 3.21. Vanj preko črtkane



Slika 3.21: Grafična ponazoritev generatorjev jezika  $L_1 = a(a \vee b)b$  (levo) in  $L_2 = a^n b^n$  (desno) s Petrijevimi mrežami.

povezave iz zunanjega sveta v pogoj  $p_1$  vstopajo zahteve za generiranje posamezne besede jezika  $L_1$ . Po vstopu zahteve se hipno generira črka  $a$ , pri čemer na sliki akcij ne označujemo več z njihovimi indeksi, temveč z generiranimi črkami. Po generiranju črke  $a$  zahteva v pogoju  $p_2$  nedeterministično izbira med proženjem akcije  $a$  ali  $b$ . Ko je ena od obeh izvedena (se generira črka  $a$  ali  $b$ ), zahteva preko pogoja  $p_3$  sproži še izvedbo zadnje akcije, ki generira še zadnjo črko besede  $b$ . Zahteva je tako dokončno postrežena in preko pogoja  $p_4$  po črtkani povezavi zapusti generator jezika  $L_1$ . Tako pridobljeno zaporedje izvedenih akcij ponazarja tvorjeno besedo jezika. Pomeni posameznih pogojev in akcij na levem delu slike 3.21 so sledeči:

- $p_1$ : v generator je vstopila zahteva za generiranje besede jezika  $L_1$ ;
- $p_2$ : zahteva nedeterministično izbira med generiranjem črke  $a$  ali  $b$ ;
- $p_3$ : zahteva je pred generiranjem zadnje črke v besedi in sicer je to črka  $b$ ;

- $p_4$ : beseda jezika  $L_1$  je bila uspešno generirana;
- $a$ : generira se črka  $a$ ;
- $b$ : generira se črka  $b$ ;

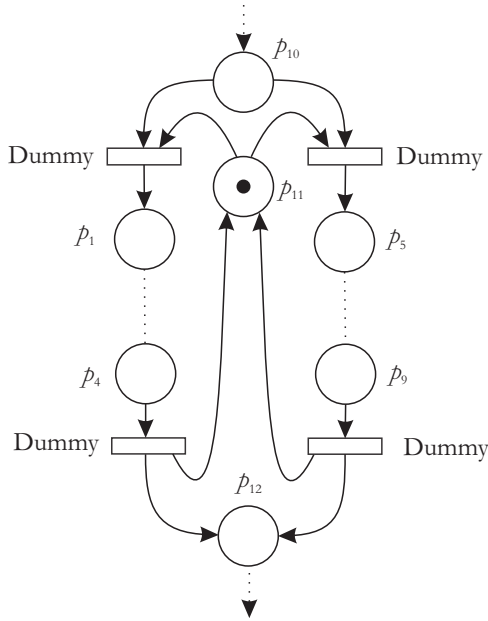
Generator jezika  $L_2$  je prikazan na desnem delu slike 3.21. Vanj preko črtkane povezave iz zunanjega sveta v pogoj  $p_5$  vstopajo zahteve za generiranje posamezne besede jezika  $L_2$ . Po vstopu zahteve se hipno generira črka  $a$ . Po generiranju črke  $a$  zahteva v pogoju  $p_6$  nedeterministično izbira med proženjem akcije  $a$  ali  $b$ . Izbiro proženja akcije  $a$  lahko ponovi večkrat, saj se žeton po proženju akcije  $a$  dosegljive iz pogoja  $p_6$  venomer vrne v ta pogoj. Omenjena akcija  $a$  poleg vračanja žetona v  $p_6$  ob vsaki svoji izvedbi en žeton odloži v pogoj  $p_7$ . Ob predpostavki, da je ta pogoj na začetku prazen, lahko smatramo, da ta pogoj predstavlja števec ponovitev nedeterministično izbranega generiranja črke  $a$ . Ker se akcija  $a$  dosegljiva iz pogoja  $p_6$  lahko izvede poljubnokrat, lahko pa tudi sploh ne, naredimo zaključek, da se nam v opazovanem pogoju  $p_7$  skozi končno število ponovitev akcije  $a$  shrani vrednost števca  $n - 1$  ( $n \geq 1$ ), ki odraža to število ponovitev. Pri tem še enkrat izrecno poudarimo, da je število ponovitev izvajanja akcije  $a$  dosegljive iz  $p_6$  določeno nedeterministično. Ko po  $n - 1$  ponovitvah generiranja črke  $a$  zahteva preneha z generiranjem  $a$ -jev, preide žeton iz pogoja  $p_6$  preko akcije, ki generira natanko eno črko  $b$ , v pogoj  $p_8$ . Odtod se ob lahko ob izpolnjjenosti pogoja  $p_7$  lahko izvaja le akcija  $b$ , ki ob vsaki svoji izvedbi dekrementira vrednost števca  $n - 1$  (zmanjša število žetonov v  $p_7$  za en žeton). Ko se pogoj  $p_7$  izprazni (iz njega smo počrpali preko izvajanja akcije  $b$  vseh  $n - 1$  žetonov), se akcija  $b$  ne more več izvesti, omogočena pa zaradi inhibirne povezave postane akcija **Dummy**. Slednja ne generira črke, temveč zahteva zgolj prenese v pogoj  $p_9$ , kar pomeni, da je zahteva v celoti posrežena. Zahteva preko pogoja  $p_9$  po črtkani povezavi zapusti generator jezika  $L_2$ . Tako pridobljeno zaporedje izvedenih akcij ponazarja tvorjeno besedo jezika  $L_2$ . Pomeni posameznih pogojev in akcij na desnem delu slike 3.21 so sledeči:

- $p_5$ : v generator jezika je vstopila zahteva za generiranje besede jezika  $L_2$ ;
- $p_6$ : zahteva nedeterministično izbira med generiranjem črke  $a$  ali  $b$ ;
- $p_7$ : pomnenje števila ( $n - 1$ ) generiranj črke  $a$ ;
- $p_8$ : zahteva deterministično izbira akcijo  $b$ , vse dokler pogoj  $p_7$  ni prazen;
- $p_9$ : beseda jezika  $L_2$  je bila uspešno generirana,
- **Dummy**: akcija nima zmožnosti generiranja črke; izvede se pod pogojem, da smo iz pogoja  $p_7$  preko izvajanja akcije  $b$  počrpali vse žetone;
- $a$ : generira se črko  $a$ ;
- $b$ : generira se črko  $b$ ;

Ob koncu opisa obeh generatorjev navedimo nekaj splošnih ugotovitev:

- za oba generatorja s slike 3.21 velja, da morajo biti vsi pogoji ob začetku simulacije inicializirani na nično število žetonov; v primeru, da temu ni tako, lahko pride do porajanja zaporedja akcij, ki ne bo predstavljalo besede prvega ali drugega jezika;
- generiranje besed jezika  $L_1$  je nedeterministično v izbiri druge črke ( $a$  ali  $b$ ) besede, generiranje besed jezika  $L_2$  pa je nedeterministično v izbiri števila  $n$ , ki definira število ponovitev  $a$ -jev in s tem posredno število  $b$ -jev v besedi; točki nedeterministične izbire se nahajata v pogojih  $p_2$  in  $p_6$ ;
- mehanizem za izvedbo nedeterministične odločitve je v Petrijevih mrežah inherentno<sup>6</sup> prisoten;

V nadaljevanju iskanja modela generatorja besed jezika  $L$  moramo združiti obe predhodno opisani rešitvi s slike 3.21. Njuna združitev je prikazana na sliki 3.22. V generator jezika  $L$  preko črtkane povezave iz zunanjega sveta v pogoj



Slika 3.22: Grafična ponazoritev generatorja jezika  $L_1 \cup L_2$  s Petrijevo mrežo.

$p_{10}$  vstopajo zahteve za generiranje posamezne besede jezika. Po vstopu zaheteve se v pogoju  $p_{10}$  nedeterministično izbere vrsto generirane besede (besedo jezika  $L_1$  ali  $L_2$ ), pri čemer je možnost izbire generatorja in vstop vanj pogojen s prisotnostjo žetona v pogoju  $p_{11}$ , ki ima funkcijo čuvanja vstopa v posamičen generator. S tem onemogočimo večkratno izvajanje enega ali drugega generatorja, kar bi onemogočilo pravilno tvorbo besed ali ustreznou zaporedje izvajanja

<sup>6</sup>Inherentno: neločljivo, nerazdružno povezano s čim (Vir: SSKJ).

akcij. Odtod zahteva potuje po poti, ki se začne bodisi v pogoju  $p_1$  (generira se beseda jezika  $L_1$ ) ali v pogoju  $p_5$  (generira se beseda jezika  $L_2$ ), ki smo ju že spoznali. Zahteva se po infinitezimalnem času pojavi v pogoju  $p_{12}$ , preko njega pa kot v celoti postrežena (zgenerirala se je beseda jezika  $L_1$  ali  $L_2$ ) zapusti generator, istočasno pa se čuvaja vrne v izhodiščni pogoj  $p_{11}$ , kar omogoči, da v generator v spremstvu čuvaja lahko vstopi nova zahteva. Pomeni posameznih pogojev in akcij na sliki 3.22 so sledeči:

- $p_{10}$ : v generator  $L$  je vstopila zahteva za generiranje besede jezika  $L$  in pride do nedeterminističnega izbiranja tipa besede (beseda jezika  $L_1$  ali  $L_2$ );
- $p_{11}$ : pogoj predstavlja prisotnost čuvaja, ki preprečuje nahajanje več zahtev v notranjosti generatorja  $L$ ;
- $p_{12}$ : zahteva je bila uspešno dokončno postrežena;

## 3.4 Analiza Petrijevih mrež

Modeliranje in simulacije realnih sistemov s Petrijevimi mrežami nas vodita do možnosti analize njihove dinamike. Predhodno smo že spoznali metodo analize drevesa označitev in definirali pojem *dosegljivosti stanj* v Petrijevih mrežah. V pričujočem razdelku si bomo ogledali še značilnosti *varnosti*, *omejenosti* in *konservativnosti* v Petrijevih mrežah.

### 3.4.1 Varnost Petrijeve mreže

Ena od možnih značilnosti opazovane Petrijeve mreže je njena *varnost* (angl. *safeness*). Posamezen pogoj v mreži je *varen*, če se skozi simulacijo dinamike v opazovani Petrijevi mreži število žetonov v tem pogoju nikdar ne dvigne nad 1, Petrijeva mreža kot celota pa je *varna* natanko takrat, ko so v njej varni tudi vsi pogoji. Jezikovni opis pojma varnosti zapišemo s formalno definicijo v nadaljevanju.

**Definicija 10** Posamezni pogoj  $p_i$  ( $p_i \in P$ ) je v Petrijevi mreže  $C=(P,T,I,O)$  z začetno označitvijo o varen natanko takrat, ko za vse označitve  $o'$  ( $o' \in R(C,o)$ ) velja  $o'_i \leq 1$  in velja tudi  $o_i \leq 1$ . Petrijeva mreža  $C$  je varna natanko takrat, ko so varni vsi njeni pogoji.

V definiciji se zaradi nepreglednosti izognemo indeksu časovnega koraka označitve  $k$ , ki je implicitno vsebovan v sklicu na dosegljivost označitve  $R(C,o)$ . Slednje pomeni, da ima označitev  $o'$  večji časovni indeks, kot začetna označitev  $o$ .  $o'_i$  (enako velja za  $o_i$ ) pri tem predstavlja sklic na  $i$ -to komponento vektorja označitve  $o'$  ( $o$ ) po vzoru izraza (3.8).

Analiza značilnosti varnosti opazovane Petrijeve mreže se uporablja predvsem na področjih modeliranja logičnih enačb, logičnih preklopnih struktur in podobnih sistemov, ki lahko zasedajo le dve možni stanji. Na ta način posamezni pogoj v Petrijevi mreži obravnavamo kot dvovrednostni logični pogoj. Tovrstna analiza je zanimiva tudi za analizo dinamike v kritičnih sekcijah, v katerih si ne želimo več paralelnih zahtev, ki v obliki žetonov potujejo skoznje, ter tudi iz vidika pomnjenja, saj nam zniža število možnih stanj sistema in s tem poceni realizacijo modela v obliki strojne realizacije.

V primeru, da opazovani pogoj  $p_i$  v Petrijevi mreži ni varen in nima večkratnih vhodnih ter večkratnih izhodnih povezav, lahko tudi ta pogoj sprememimo v varen pogoj. To dosežemo tako, da vpeljemo nov pogoj  $p'_i$ . Postopek vpeljave novega pogoja je zapisan z izrazoma

$$\text{if } (p_i \in I(t_j)) \text{ and } (p_i \notin O(t_j)) \text{ then add } p'_i \text{ to } O(t_j), \quad (3.45)$$

$$\text{if } (p_i \in O(t_j)) \text{ and } (p_i \notin I(t_j)) \text{ then add } p'_i \text{ to } I(t_j), \quad (3.46)$$

njun pomen pa je sledeč:

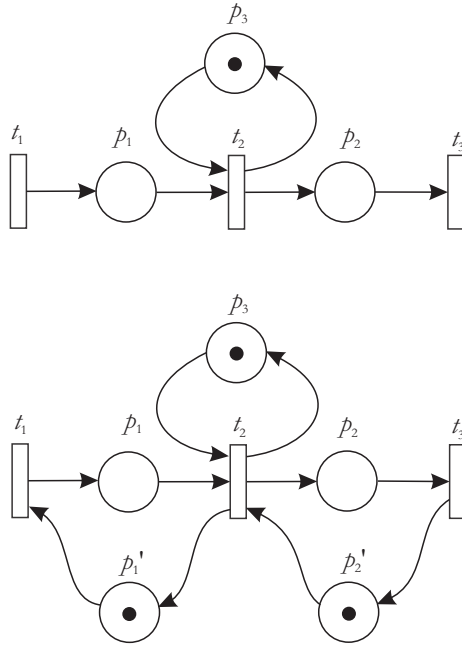
- uporaba izraza (3.45): če je pogoj  $p_i$ , ki ni varen, vhodni pogoj za akcijo  $t_j$ , ni pa njen izhodni pogoj, vpeljemo nov pogoj  $p'_i$ , ki predstavlja izhodni pogoj za akcijo  $t_j$ ;
- uporaba izraza (3.46): če je pogoj  $p_i$ , ki ni varen, izhodni pogoj za akcijo  $t_j$ , ni pa njen vhodni pogoj, vpeljemo nov pogoj  $p'_i$ , ki predstavlja vhodni pogoj za akcijo  $t_j$ ;

Pogoj  $p'_i$  je *komplementaren* pogoju  $p_i$ , pomensko pa predstavlja izjavo, da je prvotno opazovani pogoj  $p_i$  neizpolnjen (v  $p_i$  ni žetonov). Po vpeljavi novega pogoja moramo poskrbeti tudi za spremembo začetne označitve, ki mora vsebovati žeton bodisi v  $p_i$  ali v  $p'_i$ . Na sliki 3.23 je prikazan primer pretvorbe ne-varnih pogojev  $p_1$  in  $p_2$  v varna pogoja.

### 3.4.2 Omejenost Petrijeve mreže

*Omejenost* (angl. *boundedness*) je splošnejša oblika značilnosti varnosti. Petrijeva mreža je  $k$ -omejena natanko takrat, ko je  $k$  največje število žetonov, do katerega pride v enem od pogojev v njenem drevesu označitev. Iz značilnosti  $k$ -omejenosti Petrijeve mreže tako lahko sklepamo, da skozi dinamiko Petrijeve mreže število žetonov v nobenem pogoju ne bo preseglo števila  $k$ , bo pa vsaj v enem od pogojev doseženo. Jezikovni opis pojma  $k$ -omejenosti zapišemo s formalno definicijo v nadaljevanju.

**Definicija 11** Posamezni pogoj  $p_i$  ( $p_i \in P$ ) Petrijeve mreže  $C=(P,T,I,O)$  z začetno označitvijo  $o$  je  $k$ -omejen, če za vse  $o' \in R(C,o)$  velja  $o'_i \leq k$ . Petrijeva mreža  $C$  je  $k$ -omejena, če je vrednost  $k$  maksimalna gledano preko vseh omejenosti pogojev.



Slika 3.23: Primer pretvorbe ne-varnih pogojev  $p_1$  in  $p_2$  (zgoraj) v varna pogoja (spodaj) z dodajanjem dveh novih komplementarnih pogojev  $p'_1$  in  $p'_2$ .

Lastnost  $k$ -omejenosti ( $k < \infty$ ) ali maksimalnega možnega števila porajanih žetonov v posameznem pogoju Petrijeve mreže je pogoj za končno in efektivno realizacijo modeliranega sistema. Še več, največkrat si želimo, da je število  $k$  čim manjše, s čimer dosežemo manjše število različnih možnih stanj (označitev) modeliranega sistema.

### 3.4.3 Konservativnost Petrijeve mreže

Pri uporabi Petrijevih mrež za namene modeliranja nam pogoji mnogokrat predstavljajo neke *resurse*, ki morajo biti razpoložljivi za izvedbo akcij. Resurse delimo na skupini *porabljivih* (takšnih, ki jih s časom porabimo) in *trajnih* resursov. Slednjih skozi dinamiko mreže ne moremo porabiti in ostaja njihovo število skozi čas konstantno. S tega zornega kota nas v Petrijevi mreži ali v kakšnem od njenih segmentov mnogokrat zanima obstoj lastnosti *konservativnosti* (angl. *conservative*). Opazovana Petrijeva mreža je konservativna natanko takrat, ko število žetonov v pogojih Petrijeve mreže skozi čas (skozi zaporedje izvajanja akcij) ostaja enako. Slednje velja, ko je vsota žetonov v vsaki označitvi iz drevesa označitev konstantna. Pojem *striktne konservativnosti* obrazložimo s formalno definicijo v nadaljevanju.

**Definicija 12** Petrijeva mreža  $C=(P,T,I,O)$  z začetno označitvijo  $o$  je striktno konservativna, če za vse  $o' \in R(C,o)$  velja izraz

$$\sum_{i=1}^{|P|} o'_i = \sum_{i=1}^{|P|} o_i. \quad (3.47)$$

Izraz (3.47) posredno vključuje tudi veljavnost izraza

$$|I(t_j)| = |O(t_j)|, \quad j = 1, \dots, m, \quad m = |T|, \quad (3.48)$$

ki za striktno konservativnost zahteva enakost števila vstopajočih in izstopajočih povezav za vsako akcijo v Petrijevi mreži. Že sam obstoj pogoja s pomenom števca bi tako onemogočil lastnost striktne konservativnosti.

Lastnost striktne konservativnosti glasi po definiciji na celotno opazovano Petrijevo mrežo, v praksi pa nas običajno zanima nespremenljivost števila žetonov skozi časovno dinamiko zgolj v določeni podmnožici pogojev opazovane Petrijeve mreže. V takšnih primerih s primerno formalno obravnavo eliminiramo pogoje, katerih število žetonov ni v obsegu opazovanja in v njej ohranimo samo tiste pogoje, v katerih želimo skozi čas imeti vsotno gledano konstantno število žetonov. Preverjano lastnost poimenujemo za *konservativnost*, obrazložimo pa jo s formalno definicijo v nadaljevanju.

**Definicija 13** Petrijeva mreža  $C=(P,T,I,O)$  z začetno označitvijo  $o$  je konservativna glede na utežni vektor  $w$  predstavljen v izrazu

$$w = (w_1, w_2, \dots, w_n), \quad n = |P|, \quad w_i \in \{0, 1\}, \quad (3.49)$$

če za vse  $o' \in R(C,o)$  velja izraz

$$\sum_{i=1}^{|P|} o'_i * w_i = \sum_{i=1}^{|P|} o_i * w_i. \quad (3.50)$$

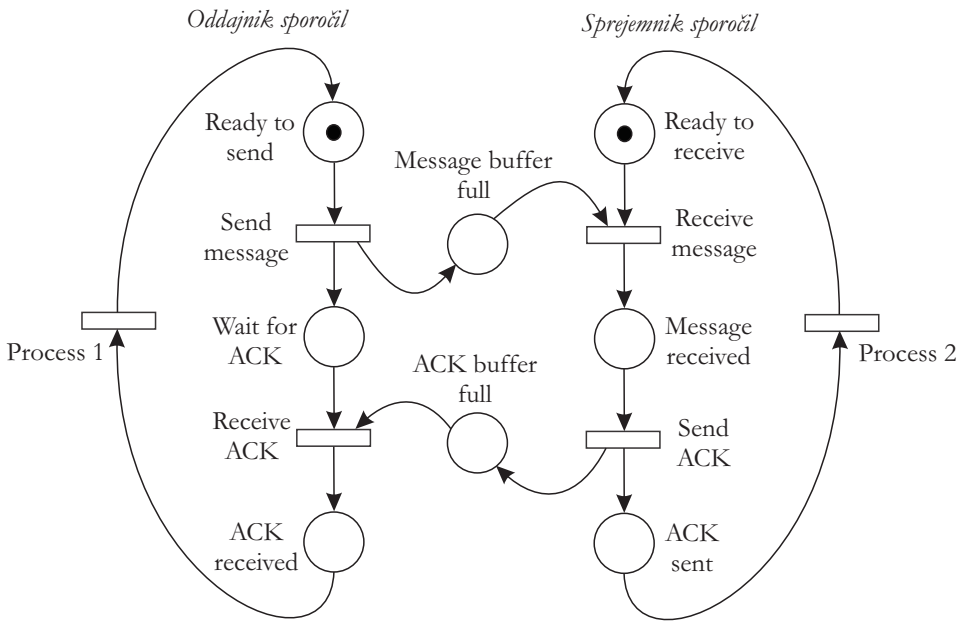
Petrijeva mreža je tako striktno konservativna le ob upoštevanju utežnega vektorja  $w = (1, 1, \dots, 1)$ , poljubna mreža pa venomer konservativna z utežnim vektorjem  $w = (0, 0, \dots, 0)$ . Zaradi slednjega pogoja za konservativnost zaostrimo in sicer zahtevamo, da je vektor  $w$  neničeln ( $\exists i : w_i = 1$ ).

### 3.5 Zgleda modeliranja s področja računalniških omrežij

V pričajočem razdelku si bomo ogledali še dva specifičnejša zgleda modeliranja s Petrijevimi mrežami, ki sodita na področje računalniških omrežij.

#### 3.5.1 Poenostavljen model protokola med oddajnikom in sprejemnikom

Predpostavimo, da imamo opravka z enostavnim protokolom za izmenjavo sporočil med *oddajnikom* in *sprejemnikom*. Prvi posamezno sporočila zgenerira, odpošlje, počaka na potrditev prejema oddanega sporočila in gre nato v generiranje novega sporočila, drugi pa posamezno sporočilo sprejme, potrdi njegov prejem in gre nato v sprejemanje novega sporočila. Model tovrstnega sistema ponazorjen s Petrijevo mrežo vključno z začetno označitvijo povzet po viru [13] je predstavljen na sliki 3.24. Levi del modela predstavlja oddajnik, desni del



Slika 3.24: Graf Petrijeve mreže poenostavljenega modela protokola izmenjave sporočil s potrjevanjem med oddajnikom in sprejemnikom povzet po viru [13].

modela sprejemnik, osrednji del modela (pogoja **Message buffer full** in **ACK buffer full**) pa vmesnika za sporočila in njihove potrditve. Začetna označitev nam pove, da sta tako oddajnik (žeton v pogoju **Ready to send**), kot tudi sprejemnik (žeton v pogoju **Ready to receive**) na začetku inicializirana na svoji

stanji pripravljenosti, oba vmesnika pa sta prazna.

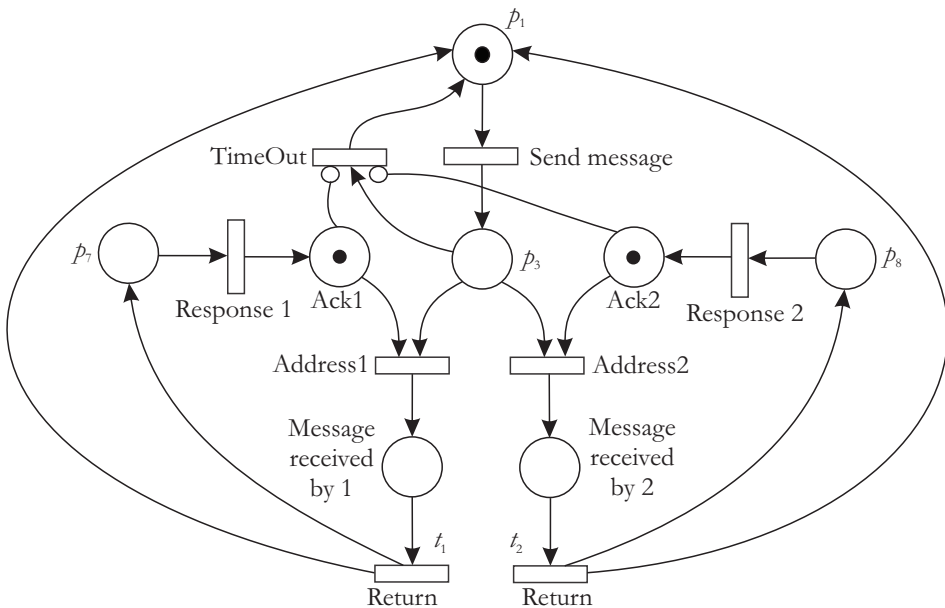
Glede na začetno označitev lahko graf Petrijeve mreže s slike 3.24 komentiramo s sledečimi alineami:

- *oddajnik*: oddajnik iz stanja pripravljenosti (žeton v pogoju `Ready to send`) preko akcije `Send message` odpošlje predhodno pripravljeno sporočilo (odlaganje žetona v pogoju `Message buffer full`) in preide v stanje čakanja na potrditev (odlaganje žetona v pogoju `Wait for ACK`); vse do prejema potrditve (porajanja žetona v pogoju `ACK buffer full`) oddajnik ne bo izvedel nobene akcije; ob prejemu potrditve bo oddajnik preko pogoja `ACK received` izvedel akcijo `Process 1`, v kateri bo zgeneriral novo sporočilo za oddajo in prešel v stanje pripravljenosti za oddajo novega sporočila (odlaganje žetona v pogoju `Ready to send`); glede na začetno označitev pridemo do ugotovitve, da je oddajniški del modela varen (v vsakem od njegovih pogojev je lahko največ en žeton) in konservativen (število žetonov v oddajniškem delu je ves čas enako 1);
- *sprejemnik*: sprejemnik iz stanja pripravljenosti (žeton v pogoju `Ready to receive`) preide preko akcije `Receive message` v pogoju `Message received` samo pod pogojem, da iz vmesnika (prisotnost žetona v pogoju `Message buffer full`) lahko prevzame sporočilo poslano s strani oddajnika; akcija `Receive message` tako predstavlja prevzem sporočila iz vmesnika in njegovo sprejetje; po dospetju žetona v pogoju `Message received` se izvede akcija `Send ACK`, ki odpošlje potrditveno sporočilo proti oddajniku (odlaganje žetona v pogoju `ACK buffer full`) in istočasno preko pogoja `ACK sent` in akcije `Process 2` (npr. shrambe sporočila) sprejemnik preide v stanje pripravljenosti za sprejem novega sporočila (žeton v pogoju `Ready to receive`); tudi v primeru modela sprejemnega dela glede na njegovo začetno označitev ugotovimo, da je model varen in konservativen (število žetonov v sprejemniškem delu je ves čas enako 1);
- glede na začetno označitev sta pogoja `Message buffer full` in `ACK buffer full` varna, saj se v vsakem od njiju lahko nahaja največ en žeton;

### 3.5.2 Model nedeterministične izbire naslovnika sporočila

Predpostavimo, da imamo opravka s sistemom za pošiljanje sporočil. Posamezno odpšiljanje se izvede na osnovi nedeterministične izbire enega od dveh različnih možnih naslovnikov. Predpogoj za izbiro posameznega naslovnika je prejetje potrditve njemu predhodno poslanega sporočila. V primeru, da se paketa ne da poslati nobenemu od obeh naslovnikov, sistem preide v reinicializacijo odpšiljanja sporočila. Model opisanega sistema ponazorjen s Petrijevo mrežo ter povzet po viru [13] je vključno z začetno označitvijo predstavljen na sliki 3.25.

Glede na začetno označitev lahko graf Petrijeve mreže s slike 3.25 komentiramo s sledečimi alineami:



Slika 3.25: Model nedeterministične izbire naslovnika v procesu odpošiljanja sporočil s potrjevanjem povzet po viru [13].

- preko pogoja  $p_1$  in akcije **Send message** pride do inicializacije odpošiljanja sporočila (odlaganja žetona v pogoju  $p_3$ );
- v pogoju  $p_3$  pride do nedeterministične izbire naslovnika (izvedbe akcije **Address1** ali **Address2**); če v pogojih **Ack1** ali **Ack2** ni žetona (predhodno poslano sporočilo s strani naslovnika ni bilo potrjeno), do izbire naslovnika ne pride, temveč preidemo preko akcije **TimeOut** v reinicializacijo odpošiljanja istega sporočila (odlaganja žetona v pogoju  $p_1$ );
- zaporedje **Address1 - Message received by 1 - Return -  $p_7$  - Response1** predstavlja potovanje potrditve s strani prvega naslovnika do pogoja **Ack1**, zaporedje **Address2 - Message received by 2 - Return -  $p_8$  - Response2** pa predstavlja potovanje potrditve s strani drugega naslovnika do pogoja **Ack2**;
- opazovana Petrijeva mreža ni striktno konservativna (ob podani začetni označitvi celotno število žetonov v mreži skozi čas simulacije variira med številoma 2 in 3); istočasno lahko ugotovimo, da je predstavljena Petrijeva mreža varna;

### 3.6 Razširitve Petrijevih mrež

V predhodnih razdelkih smo si ogledali množico primerov zgledov Petrijevih mrež. Nekateri zgledi so temeljili na klasični definiciji Petrijevih mrež, nekateri pa v to skupino niso sodili. V skupino slednjih sodijo vsi zgledi, v katerih smo uporabljali *inhibirne povezave*. Tovrstni konstrukti niso definirani za skupino klasičnih Petrijevih mrež, tako da zglede, v katerih nastopajo inhibirne povezave smatramo za zgleda ponazorjene z *razširjenimi Petrijevimi mrežami*.

Poleg inhibirnih povezav med možne konstrukte razširjenih Petrijevih mrež sodijo sledeči dejavniki:

- *stohastičnost*: v tem primeru dopuščamo verjetnostno pogojenost vejanj ali izbire izvajanja akcij, s čimer pridemo do stohastičnih Petrijevih mrež (angl. *stochastic Petri nets*);
- *mehkost*: v tem primeru dopuščamo mehkost izvajanja akcij ali izpolnjenosti pogojev, s čimer pridemo do *mehkih Petrijevih mrež*; pod pojmom mehkosti izvajanja akcij imamo v mislih neko delno izvajanje akcije, pod pogojem mehkosti izpolnjenosti pogojev pa neko delno ali približno izpolnjenost pogoja;
- *časovnost*: v tem primeru je omogočeno, da posameznim akcijam pripisemo časovnost njihovega trajanja; tovrstne Petrijeve mreže imenujemo za *časovne Petrijeve mreže* (angl. *timed Petri nets*), več o njih pa povemo v naslednjem razdelku pričajočega poglavja;
- „*barvanje*“ žetonov: v klasičnih Petrijevih mrežah informacijska vrednost žetona ponazarja le kratnost izpolnjenosti pogoja; v primeru „*barvanja žetonov*“ je možno posamezni žeton deklarirati z množico spremenljivk, implementacijo žetona pa inicializirati s prirejanjem vrednosti; tovrstne Petrijeve mreže imenujemo za *barvne Petrijeve mreže* (angl. *coloured Petri nets*), več o njih pa povemo v naslednjem poglavju;

### 3.7 Časovne Petrijeve mreže

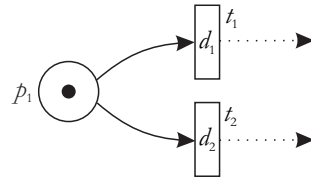
Časovne Petrijeve mreže omogočajo vpeljavo *časa trajanja* posameznih akcij. Njihovo definicijo, povzeto po viru [14], zapišemo v nadaljevanju.

**Definicija 14** Šestorček  $PN = (P, T, I, O, o(k_0), D)$  imenujemo za *časovno Petrijevo mrežo*, kjer  $P$  predstavlja končno množico pogojev,  $T$  končno množico akcij,  $I$  vhodno ter  $O$  izhodno matriko in  $o(k_0)$  začetno označitev.  $D$  predstavlja vektor nenegativnih števil vključujoč ničlo, ki posameznim akcijam določajo časovno trajanje, pri čemer velja izraz

$$m = |T| \Rightarrow D = (d_1, d_2, \dots, d_m), \quad \forall i : d_i \in \mathbb{N} \cup \{0\}. \quad (3.51)$$

Trajanje posamezne akcije si interpretiramo na sledeč način. Opazovana akcija  $t_j$  s trajanjem  $d_j$  časovnih enot se sproži (se začne izvajati), ko so izpolnjeni vsi pogoji, iz katerih vodijo vhodne povezave v opazovano akcijo. Omenjeni pogoji morajo biti izpolnjeni vse do konca trajanja opazovane akcije. Šele po  $d_j$  časovnih enotah se žetoni iz vhodnih pogojev hipno prenesejo na izhodne pogoje opazovane akcije. Povedano drugače, žetoni v vhodnih pogojih ob sprožitvi akcije  $t_j$  ostanejo na svojih mestih  $d_j$  časovnih enot, šele nato pa se prenesejo preko akcije  $t_j$  v izhodne pogoje na nam že znani način. V primeru, da se vsaj en potreben žeton v vhodnih pogojih akcije  $t_j$  skozi čas trajanja te akcije odvzame s strani neke druge akcije, pride do prekinitve izvajanja akcije  $t_j$ . Slednja preide v fazo čakanja na novo izpolnjenost potrebnih pogojev za njeno proženje in s tem posredno na svoje vnovično celotno izvajanje s časom  $d_j$  časovnih enot.

Na sliki 3.26 je prikazan enostaven primer grafa Petrijeve mreže z akcijo  $t_1$  s trajanjem  $d_1$  časovnih enot in akcijo  $t_2$  s trajanjem  $d_2$  časovnih enot. Če žeton v času  $t_0$  prispe v pogoj  $p_1$ , se bo iz tega pogoja preko akcije  $t_1$  hipno preselil v časovni točki  $t_0 + d_1$  le pod pogojem, da je čas trajanja  $d_1$  krajši od časa trajanja akcije  $d_2$ . V primeru, da sta časa trajanja enaka ( $d_1 = d_2$ ), bo izvedena ena od obeh akcij, ki bo izbrana nedeterministično, v primeru pa da je čas  $d_2$  krajši od  $d_1$ , pa bo uspešno izvedena le akcija  $t_2$ .



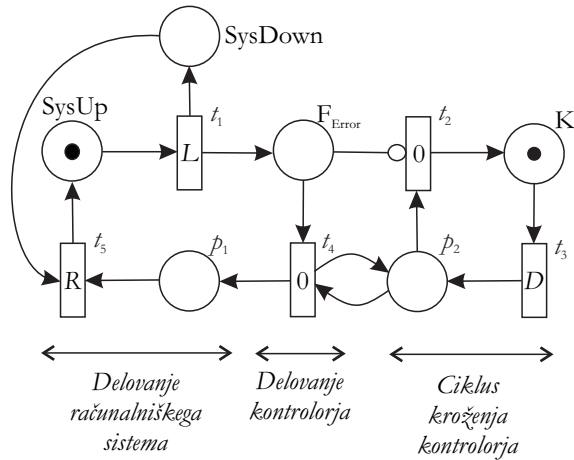
Slika 3.26: Graf Petrijeve mreže z dvema akcijama in njima pripadajočima časovnima trajanjema  $d_1$  in  $d_2$ .

V nadaljevanju razdelka si bomo ogledali dva primera zgledov uporabe časovnih Petrijevih mrež in sicer zgled časovno pogojenega servisiranja popravljivega računalniškega sistema in zgled Stop&Wait protokola.

### 3.7.1 Model servisiranja računalniškega sistema

Uporabo časovnosti trajanja akcij v Petrijevih mrežah si bomo najprej ogledali na zgledu modela servisiranja popravljivega računalniškega sistema. Predpostavimo, da je predvideni čas med posameznima sosednjima odpovedima opazovanega sistema (angl. *mean time between fail* - MTBF) definiran s časom  $L$  časovnih enot, predvideni čas servisiranja (angl. *mean time to repair* - MTTR) pa definiran s časom  $R$  časovnih enot. Delovanje računalniškega sistema s periodičnimi obiski na vsakih  $D$  časovnih enot nadzira kontrolor. V primeru, da ob obisku detektira odpoved sistema, sproži postopek servisiranja (npr. naroči servisni poseg). Primer in njegov model sta povzeta po viru [14]. Graf Petrijeve mreže opisanega sistema je predstavljen na sliki 3.27, pri čemer levi del slike

predstavlja dinamiko računalniškega sistema (prehajanje med stanji njegovega delovanja in nedelovanja), osrednji del delovanje kontrolorja, desni del slike pa ciklus kroženja kontrolorja.



Slika 3.27: Graf Petrijeve mreže za modeliranje periodične diagnostike popravljivega računalniškega sistema.

Računalniški sistem ponazarjata pogoja **SysUp** (žeton v njem ponazarja delujuče stanje sistema) in **SysDown** (žeton v njem ponazarja nedelujoče stanje sistema) ter akciji  $t_1$  (teče življenska doba delovanja sistema) in  $t_5$  (poteka servisiranje sistema). Iz povezave navedenih akcij in pogojev je razvidno, da bo sistem po  $L$  časovnih enotah prešel v stanje nedelovanja (prenos žetona iz pogoja **SysUp** preko akcije  $t_1$  v pogoj **SysDown**). Pri tem bo pojavitev odpovedi preko akcije  $t_1$  povzročila tudi prenos žetona v pogoj **F<sub>Error</sub>**. Po  $R$  časovnih enotah servisiranja bo sistem prešel nazaj v fazo delovanja (prehod žetona iz pogoja **SysDown** preko akcije  $t_5$  v pogoj **SysUp**), pri čemer pa bo za omenjeni prehod od samega začetka servisiranja (izvajanja akcije  $t_5$ ) potreben tudi žeton v pogoju  $p_1$ .

Žeton, ki ponazarja pomen kontrolorja, se na samem začetku nahaja v pogoju **K**. Po  $D$  urinih periodah preko akcije  $t_3$  preide v pogoj  $p_2$ , odkoder ga pot vodi nazaj v fazo latence (prenos žetona v pogoj **K**), če le ni izpolnjen pogoj **F<sub>Error</sub>** (ni dvignjena zastavica<sup>7</sup>, ki signalizira odpoved sistema). V primeru, da je pogoj **F<sub>Error</sub>** izpolnjen (zastavica je dvignjena), žeton s pomenom kontrolorja hipno preide iz pogoja  $p_2$  preko akcije  $t_4$  nazaj v pogoj  $p_2$ , pri čemer izvedena akcija  $t_4$  spusti zastavico v pogoju **F<sub>Error</sub>**, istočasno pa se en žeton odloži v pogoju  $p_1$ .

<sup>7</sup>Pojem zastavice (angl. flag) izhaja iz področja operacijskih sistemov, pri čemer pod zastavico smatramo entiteto, ki se lahko nahaja v enem od dveh možnih stanj. Odtod nahajanje žetona v pogoju **F<sub>Error</sub>** predstavlja dvignjeno zastavico, odsotnost žetona v njem pa spuščeno zastavico. Pri tem predpostavljamo, da je čas  $D$  manjši od časa  $L$ , s čimer onemogočimo večkratno porajanje žetonov v pogoju **F<sub>Error</sub>**.

goj  $p_1$ , ki omogoči začetek servisiranja sistema. Pri tem imata akciji  $t_2$  in  $t_4$  označen čas njunega trajanja z 0, na osnovi česar sklepamo, da je čas njune izvedbe hipen ali infinitezimalen. Tako žeton s pomenom kontrolorja z izvedbo teh dveh akcij z bivanjem v vhodnih pogojih ne izgubi nobenega časa.

### 3.7.2 Model Stop&Wait protokola

Predpostavimo, da imamo opravka z enosmernim prenosnim kanalom podatkovnih paketov med oddajnikom in sprejemnikom, v katerem na podatkovnem nivoju (2. nivo po OSI modelu, angl. *data link layer*) veljajo sledeče zakonitosti:

- oddajnik *podatkovne pakete* zgolj pošilja, sprejemnik pa podatkovne pakete zgolj sprejema (angl. *simplex protocol*<sup>8</sup>);
- na prenosnem kanalu se paketi lahko izgubljajo ali okvarijo (angl. *noisy channel*);
- za vsak uspešno prejeti podatkovni paket sprejemnik pošlje oddajniku *potrditveni paket*;
- oddajnik po pošiljanju posameznega podatkovnega paketa ne pošlje novega podatkovnega paketa, temveč čaka vse dotlej, dokler ne prejme potrditvenega paketa; na ta način preprečimo eventuelno poplavljajanje sprejemnika (angl. *flooding*) z zaporedjem podatkovnih paketov v primeru, da sprejemnik podatkovne pakete sprejema počasneje, kot jih oddajnik oddaja; v primeru, da poteče od oddaje podatkovnega paketa  $T$  urinih period in oddajnik ni prejel potrditvenega paketa, podatkovni paket pošlje znova; pri tem mora biti  $T$  večji od vsote potovalnih časov podatkovnega in potrditvenega paketa, režijskega časa sprejema paketa ter priprave in pošiljanja potrditvenega paketa; ob predpostavki, da do okvare ali izgube paketa lahko pride le ob prenosu od oddajnika do sprejemnika (kar je dokaj nerealistična predpostavka), do ponovnega pošiljanja podatkovnega paketa tako lahko pride v sledečih dveh primerih:
  - paket ne prispe do sprejemnika in ta ga ne potrdi (paket se je na kanalu izgubil);
  - paket pride do sprejemnika okvarjen in sprejemnik ga zavrže ter ne izvede potrditve;
- naša predhodna predpostavka, da do okvare ali izgube paketa lahko pride le ob prenosu od oddajnika do sprejemnika je dokaj nerealistična; predpostavimo, da je sprejemnik podatkovni paket prejel, posal potrditveni paket, le ta pa se je izgubil ali okvaril; v tem primeru bo oddajnik podatkovni paket poslal po  $T$  urinih periodah še enkrat in v primeru uspešnega prenosa bo ponovno sprejet s strani sprejemnika; tako v prvem, kot tudi v drugem primeru bo sprejemnik podatkovni paket posredoval na mrežni

---

<sup>8</sup>Simplex protokol je zmožen pošiljanja podatkov zgolj v eni smeri (Vir: Wikipedia).

ali 3. nivo po OSI modelu (angl. *network layer*), s čimer pride do *podvajanja podatkovnih vsebin na mrežnem nivoju*; do slednje anomalije naj po definiciji 2. nivoja ne bi prihajalo, zato moramo dodati logiki opazovanega 2. nivoja še dodatne funkcije, ki bodo to anomalijo onemogočale; iz doslaj povedanega je očitno, da bi bilo smiselno na sprejemni strani vpeljati mehanizem za identifikacijo in s tem razlikovanje med *prvič sprejetim podatkovnim paketom* in *ponovno sprejetim podatkovnim paketom*; ena od možnih rešitev je označevanje podatkovnih paketov na strani oddajnika; v namene označevanja vpeljemo zaporedno številko paketa (angl. *sequence number*), ki jo dodeljuje podatkovnemu paketu oddajnik; ker zaporedna številka paketa predstavlja *redundančno vsebino* in s tem obremenjuje procesne in prenosne vire je smiselno, da je le ta čim manjša z vidika števila bitov; ker je pošiljanje naslednjega podatkovnega paketa odvisno le od potrditve predhodno poslanega in uspešno prejetega podatkovnega paketa se izkaže, da je za efektivno označitev dovoljšja podatkovna vsebina 1 bita (kontrolne vsebine 0 ali 1); tako se naš opazovani oddajnik lahko nahaja v dveh različnih fazah čakanja:

- stanje 0: oddajnik je poslal paket s kontrolno oznako 0 in čaka na potrditev paketa tipa 0; ko jo prejme gre v oddajo paketa s kontrolno oznako 1;
- stanje 1: oddajnik je poslal paket s kontrolno oznako 1 in čaka na potrditev paketa tipa 1; ko jo prejme gre v oddajo paketa s kontrolno oznako 0;

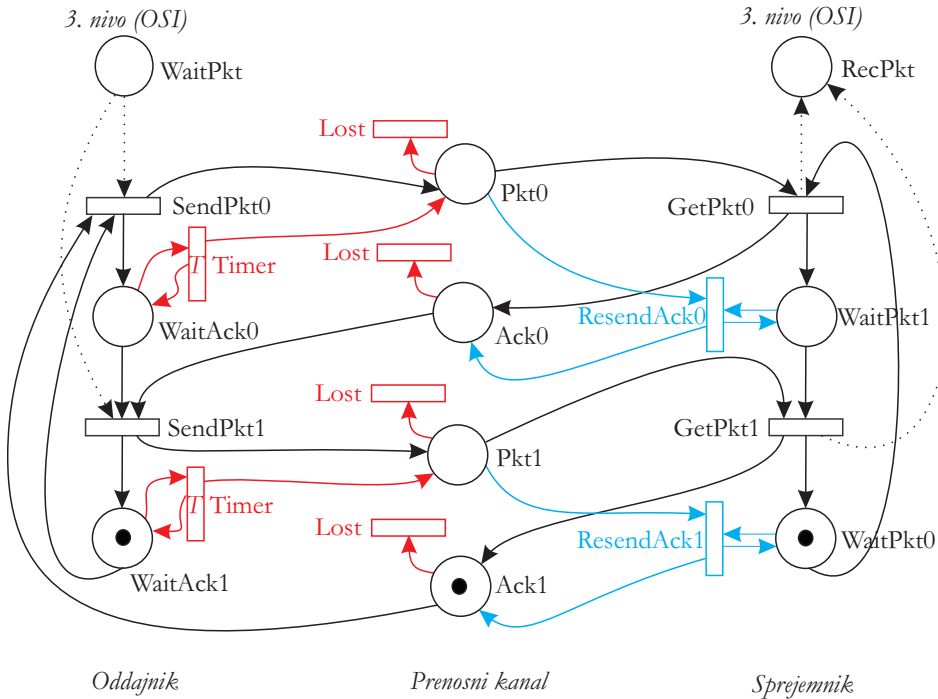
Omenjeni protokol imenujemo za **Stop&Wait** protokol neidealnega kanala [15]. Podatkovne pakete je od sprejemnika do oddajnika zmožen prenašati brez izgub, brez podvajanja prejetih podatkovnih paketov in v pravilnem vrstnem redu. Model protokola ponazorjen z grafom Petrijeve mreže je predstavljen na sliki 3.28<sup>9</sup>.

Model na sliki 3.28 je zaradi preglednosti narisan v treh fazah. V prvi fazi (črna barva) postavimo model, ki onemogoča poplavljvanje sprejemnika s podatkovnimi paketi in vpeljemo potrjevanje podatkovnih paketov. V drugi fazi (rdeča barva) ponazorimo izgubljanje obeh vrst paketov in ponovno pošiljanje podatkovnih paketov. V tretji fazi (modra barva) ponazorimo ponovno pošiljanje potrditvenih paketov.

Specifike modela protokola ponazorjenega s **črno** barvo so ob upoštevanju začetne označitve sledeče:

- oddajnik v stanju čakanja (žeton v pogoju **WaitAck1**) na potrditev podatkovnega paketa tipa 1 ob prejemu slednjega (žeton v pogoju **Ack1**) odpošlje nov podatkovni paket tipa 0 (izvedba akcije **SendPkt0**); za pošiljanje podatkovnega paketa tipa 0 mora biti istočasno izpolnjen tudi pogoj **WaitPkt**, v katerem 3. nivo pripravi podatkovno vsebino (žeton); ob izvedbi akcije **SendPkt0** se odloži podatkovni paket na prenosni kanal (žeton

<sup>9</sup>Model protokola je deloma povzet po viru „C. Panayiotou: *Petri-Nets and Other models*“, ki je bil v preteklosti dosegljiv na spletu.



Slika 3.28: Model Stop&Wait protokola narisani v treh fazah. V prvi fazi (črna barva) postavimo model, ki onemogoča poplavljjanje sprejemnika s podatkovnimi paketi in vpeljemo potrjevanje podatkovnih paketov. V drugi fazi (rdeča barva) ponazorimo izgubljanje oben vrst paketov in ponovno pošiljanje podatkovnih paketov. V tretji fazi (modra barva) ponazorimo ponovno pošiljanje potrditvenih paketov.

se odloži v pogoju  $Pkt0$ ), istočasno pa oddajnik preide v stanje čakanja na potrditev podatkovnega paketa tipa 0 (prenos žetona v pogoju  $WaitAck0$ ); ko potrditev prejme preko prenosnega kanala (prihod žetona v pogoju  $Ack0$ ) in je pripravljena nova podatkovna vsebina na 3. nivoju (žeton v pogoju  $WaitPkt$ ), se izvede pošiljanje podatkovnega paketa tipa 1 (izvedba akcije  $SendPkt1$ ); pri tem se paket odloži na prenosni kanal (odlaganje žetona v pogoju  $Pkt1$ ), oddajnik pa preide v čakanje na potrditev podatkovnega paketa tipa 1 (prenos žetona v pogoju  $WaitAck1$ );

- sprejemnik v stanju čakanja (žeton v pogoju  $WaitPkt0$ ) na prejem podatkovnega paketa tipa 0 s prenosnega kanala ob prejemu slednjega (pojavitev žetona v pogoju  $Pkt0$ ) odpošlje potrditveni paket tipa 0 in prejeti podatkovni paket posreduje 3. nivoju (izvedba akcije  $GetPkt0$ ); po izvedbi akcije  $GetPkt0$  sprejemnik preide v stanje čakanja na tip podatkovnega paketa 1 (prenos žetona v pogoju  $WaitPkt1$ ); ko omenjeni podatkovni paket

prispe po prenosnem kanalu (pojavitev žetona v pogoju **Pkt1**), sprejemnik izvede akcijo **GetPkt1**, s čimer posreduje prejeti podatkovni paket 3. ničnu, odpošlje potrditveni paket tipa 1 (prenese žeton v pogoju **Ack1**) in preide v stanje čakanja na nov podatkovni paket tipa 0 (prenos žetona v pogoju **WaitPkt0**);

Specifike modela protokola ponazorjenega z **rdečo** barvo so ob upoštevanju začetne označitve sledeče:

- oddajnik v stanju čakanja na prejem potrditve podatkovnega paketa tipa 0 (žeton v pogoju **WaitAck0**) na vsakih  $T$  urinih period preko akcije **Timer** na prenosni kanal znova odloži podatkovni paket tipa 0 (prenos žetona v pogoju **Pkt0**);
- oddajnik v stanju čakanja na prejem potrditve podatkovnega paketa tipa 1 (žeton v pogoju **WaitAck1**) na vsakih  $T$  urinih period preko akcije **Timer** na prenosni kanal znova odloži podatkovni paket tipa 1 (prenos žetona v pogoju **Pkt1**);
- vse štiri vrste paketov (podatkovni paket tipa 0, podatkovni paket tipa 1, potrditveni paket tipa 0, potrditveni paket tipa 1) se lahko na prenosnem mediju izgubijo; v modelu je to ponazorjeno s konkurenčnimi akcijami **Lost**, ki odvzemajo žetone iz pogojev **Pkt0**, **Ack0**, **Pkt1** in **Ack1**; odvzem vseh vrst paketov iz prenosnega kanala se vrši nedeterministično;

Specifiki modela protokola ponazorjenega z **modro** barvo sta ob upoštevanju začetne označitve sledeče:

- sprejemnik v stanju čakanja na podatkovni paket tipa 1 (žeton v pogoju **WaitPkt1**) ob ponovnem prejemu podatkovnega paketa tipa 0 na prenosni kanal znova odloži potrditveni paket tipa 0 (prenos žetona v pogoju **Ack0**);
- sprejemnik v stanju čakanja na podatkovni paket tipa 0 (žeton v pogoju **WaitPkt0**) ob ponovnem prejemu podatkovnega paketa tipa 1 na prenosni kanal znova odloži potrditveni paket tipa 1 (prenos žetona v pogoju **Ack1**);

Časovnost trajanja akcij je definirana samo za akciji **Timer** in je nastavljena na  $T$  urinih period. V modelu je zaradi preglednosti vključena samo možnost izgubljanja paketov (izvedbe akcij **Lost**), ne pa tudi možnost detekcije okvare paketov. Predpostavimo lahko, da je slednja integrirana v izvedbi akcij **GetPkt0**, **GetPkt1**, **SendPkt1**, **SendPkt0**.

### 3.8 Povzetek uporabe modeliranja na osnovi Petrijevih mrež

V pričujočen poglavju smo spoznali, da s pomočjo Petrijevih mrež lahko modeliramo različne konstrukte s področja računalništva kot so programski ukazi,

diagrami poteka, končni avtomati, generatorji jezikov, nedeterministični algoritmi, računalniški protokoli itd. V splošnem lahko Petrijeve mreže proglašimo za univerzalno okolje modeliranja v domeni dinamičnih procesov in njihovih sinhronizacij.

V preteklih razdelkih v opisu zgledov nismo eksplisitno izpostavili evidenčnega porajanja različnih *pomenov žetonov*. V zgledu s slike 3.28 imamo tako v pogojih oddajnika in sprejemnika venomer le en žeton, ki ponazarja njegovo stanje, v pogojih prenosnega kanala pa žetone, ki imajo pomene podatkovnega paketa tipa 0 (nahajanje v pogoju *Pkt0*), podatkovnega paketa tipa 1 (nahajanje v pogoju *Pkt1*), potrditvenega paketa tipa 0 (nahajanje v pogoju *Ack0*) in potrditvenega paketa tipa 1 (nahajanje v pogoju *Ack1*). Običajno imamo v modelu Petrijeve mreže več različnih tipov žetonov, pri čemer se tipi žetonov med seboj ločijo po njihovem pomenu.



# Literatura

- [1] N. C. Hock, *Queueing Modelling Fundamentals*. John Wiley & Sons, Chichester, Anglija, 1996.
- [2] M. Anu, “Introduction to modeling and simulation,” in *Proceedings of the 29th conference on Winter simulation* (S. Andradóttir, K. J. Healy, D. H. Withers, and B. L. Nelson, eds.), pp. 7–13, 1997.
- [3] L. Kleinrock and R. Gail, *Queueing systems, problems and solutions*. John Wiley & Sons, New York, ZDA, 1996.
- [4] N. Zimic and M. Mraz, *Temelji zmogljivosti računalniških sistemov*. Založba FE in FRI, Ljubljana, Slovenija, 2006.
- [5] R. Jamnik, *Verjetnostni račun in statistika*. Društvo matematikov, fizikov in astronomov socialistične republike Slovenije, Zveza organizacij za tehnično kulturo Slovenije, Ljubljana, Slovenija, 1986.
- [6] K. S. Trivedi, *Probability and Statistics with Reliability, Queueing and Computer Science Applications*. John Wiley & Sons Inc., New York, ZDA, 2002.
- [7] H. Stöcker, *Matematični priročnik z osnovami računalništva*. Tehnična založba Slovenije, Ljubljana, Slovenija, 2006.
- [8] J. Virant, *Modeliranje in simuliranje računalniških sistemov*. Didakta, Radovljica, Slovenija, 1991.
- [9] J. F. Shortle, J. M. Thompson, D. Gross, and C. M. Harris, *Fundamentals of queueing theory*. John Wiley & Sons, Hoboken, ZDA, 2018.
- [10] J. L. Peterson, *Petri Net Theory and the Modeling of Systems*. Prentice Hall, 1981.
- [11] J. Bordon, M. Moškon, N. Zimic, and M. Mraz, “Semi-quantitative Modelling of Gene Regulatory Processes with Unknown Parameter Values Using Fuzzy Logic and Petri Nets,” *Fundamenta Informatiae*, vol. 160, no. 1–2, pp. 81–100, 2018.

- [12] J. Virant, *Logične osnove odločanja in pomnjenja v računalniških sistemih.* Založba FE in FRI, Ljubljana, Slovenija, 1996.
- [13] T. Murata, “Petri Nets: Properties, Analysis and Applications,” *Proceedings of The IEEE*, vol. 77, no. 4, pp. 541–580, 1989.
- [14] W. G. Schneeweiss, *Petri Nets for Reliability Modeling.* LiLoLe Verlag, 1999.
- [15] A. S. Tanenbaum and D. J. Wetherall, *Computer Networks.* Prentice Hall, 2011.